

SADAO ISOTANI

VIT. 221

UMA APROXIMAÇÃO EMPÍRICA PARA O CÁLCULO DE CAMPOS DE
FÓRÇAS MOLECULARES

DIREÇÃO DA TÉSE

Tese apresentada ao Instituto
de Física da Universidade de
São Paulo, para a obtenção do
título de Livre-Docente.

SBI-IFUSP



305M810T0221

São Paulo

1.974



A G R A D E C I M E N T O S

Desejamos expressar nossos agradecimentos à:

- Kazunori Watari e Prof. Walter Sano pelo auxílio na elaboração deste trabalho.
- Profs. Luiz Guimarães Ferreira, Carlos José de Azevedo Quadtos, Mauro Cattani, Nei Fernandes de Oliveira Jr. e Angelo Piccini pelo contínuo apoio.
- Meus colegas pelo apoio e estímulo.
- Dayse, Bruno e Percílides, que nos auxiliaram na impressão.

Desejamos além disso, agradecer às Instituições:

- FAPESP - Fundação de Amparo à Pesquisa do Estado de São Paulo
- SENAI, Setor de Matemática Aplicada "Prof. Dr. Walter Schutzen"
- BNDE, Banco Nacional de Desenvolvimento Econômico
- CNPq, Conselho Nacional de Pesquisas.

Í N D I C E

INTRODUÇÃO	1
CAPÍTULO I. ANÁLISE EM COORDENADAS NORMAIS DAS VIBRAÇÕES MOLECULARES.	
I-1. Coordenadas Normais	4
I-2. Coordenadas de Simetria	6
I-3. Aplicações da Análise em Coordenadas Normais	6
I-4. Determinação Experimental das Constantes de Fôrça. 15	
CAPÍTULO II. DESCRIÇÃO DE ALGUMAS APROXIMAÇÕES AO CÁLCULO DE CAMPOS DE FÔRÇA MOLECULARES.	
II-1. Propriedades das Elipses de Constantes de Fôrça ..	18
II-2. Aproximação $F_{12} \approx 0$ para $n = 2$	20
II-3. Aproximação $F_{ij} \approx 0$ para $n > 2$	20
II-4. Aproximação de Sawodny	22
II-5. Representação Paramétrica da Solução Geral do Problema Inverso de Autovalores	23
CAPÍTULO III. APLICAÇÃO DE ALGUMAS APROXIMAÇÕES AO CÁLCULO DE CAMPOS DE FÔRÇA MOLECULARES A $n = 2$.	
III-1. Centro da Elipse de Constantes de Fôrça	28
III-2. Aproximações de Sawodny e Thakur-Rai	29
III-3. Método de Becher-Mattres	30
CAPÍTULO IV. UMA RELAÇÃO EMPÍRICA ENTRE F_{12} E g	
IV-1. Definições	32
IV-2. Verificação da Relação Empírica	33
CAPÍTULO V. APLICAÇÕES A $n = 3$	
V-1. Métodos de Acoplamentos por Passos	35
V-2. Aproximações de Sawodny e Thakur-Rai	37
V-3. Aproximação Empírica	38

CONCLUSÃO	40
TABELAS	42
REFERÊNCIAS	57
FIGURA 1	60

R E S U M O

Aplicamos os métodos de centro-elipse, de Sawodny, de Thakur-Rai e de Becher-Mattes ($m_0 = 1$ e $m_0 = \infty$) ao cálculo de F_{12} do problema de autovalores inverso de $n = 2$, de 44 moléculas. O melhor método foi o de Becher-Mattes. O estudo das propriedades empíricas em relação ao intervalo permitido de F_{12} , daqueles F_{12} calculados empregando os citados métodos e o método experimental sugeriu uma correlação empírica entre \bar{F}_{12} e g que são definidos nos casos $G_{12} < 0$ por

$$\bar{F}_{12} = (F_{12} - F_{12}^{\leq}) / (F_{12}^{\geq} - F_{12}^{\leq})$$
$$g = |G_{12}|/D$$

onde $D = \text{Det}(G)$ e F_{12}^{\geq} são os valores máximos e mínimos permitidos a F_{12} . A correlação empírica obtida pelo método de mínimos quadrados tem a forma

$$\bar{F}_{12} = 1/\exp(a_0 + a_1 g + a_2 g^2)$$

onde $a_0 = 0.5583$, $a_1 = 1.9888$ e $a_2 = -0.1687$. Esta correlação permite um cálculo em média mais preciso do que o de Becher-Mattes.

A aproximação bidimensional para o problema de autovalores inverso de $n = 3$ foi testado nas moléculas $YC(H,D)_3$ ($Y = F, Cl, Br, I$), usando o método de Becher-Mattes, tendo sido observado sua aplicabilidade. Os métodos de Sawodny, Thakur-Rai e o da correlação empírica foram aplicados ao cálculo dos campos de força destas moléculas usando a aproximação bidimensional. Observamos que o método da correlação empírica é o melhor dentre os métodos considerados.

INTRODUÇÃO

Na determinação completa do campo de fôrças moleculares, $n(n + 1)/2$ constantes de força independentes devem ser calculados a partir das n vibrações fundamentais. Isto é, a solução inversa do problema de autovalores da espectroscopia vibracional é matematicamente indeterminado. Métodos para o uso de dados adicionais, como a substituição isotópica¹, interação vibração-rotação^{2,4}, difração eletrônica^{5,6} e intensidade de absorção⁷, na determinação precisa das constantes de força foram desenvolvidas. Foi assim possível obter campos de força completos para um número significativo de pequenas moléculas.

Há, contudo, um grande número de problemas vibracionais onde $n(n + 1)/2$ constantes de força devem ser calculados apenas a partir das n fundamentais. Isto porque os métodos de utilização de dados adicionais estão limitados no atual estágio a pequenas moléculas. Neste caso, adota-se em geral aproximações dos campos de força. Por muitos anos, foram muito usados três tipos de campos de força simplificados: campo de fôrças de valência, campos de fôrças de Urey-Bradley e campo de fôrças centrais. Nestes campos de força simplificados, $n(n - 1)/2$ ou mais constantes de força são parametrizados. Estas constantes são em geral determinadas por alguma ou combinações dos seguintes procedimentos:

- (i) fixar as constantes de força paramétricas arbitrariamente;
- (ii) transferir constantes de força ou observações empíricas;
- (iii) usar condições de contorno baseadas na análise da natureza das ligações químicas.

Os campos de força simplificados em geral só podem ser comparados com segurança quando são adotados procedimentos iguais na fixação das constantes de força paramétricas. Isto geralmente limita as comparações entre campos de força a grupos de moléculas de mesma estrutura. Além disto, as simplificações podem ser de tal ordem que muitas informações que poderiam ser observadas nos campos de força podem ser encobertas.

Recentemente consideráveis esforços foram feitos no estudo da possibilidade de se determinar campos de força aproximadamente corretos somente das n fundamentais e de condições de contorno matemáticos⁸⁻²³. Trata-se de estudos visando a substituição de dados adicionais na determinação de campos de força por condições de contorno matemáticos. Várias condições de contorno deram aproximações aceitáveis aos campos de força de grupos de moléculas. Contudo

até o presente, não foi possível estabelecer condições de contorno que levem a campos de força aceitáveis a todos os grupos de moléculas considerados.

No problema inverso de autovalores de dimensão $n = 2$ há somente uma constante de força paramétrica. Usando dados adicionais um número significativo de campos de força em que $n = 2$ foram calculados. Esta observação sugere uma análise das propriedades empíricas das constantes de força com o fito de desenvolvermos condições de contorno baseados nestas propriedades. Na descrição das propriedades empíricas das constantes de força, faz-se necessário estabelecer parâmetros aos quais as constantes de força possam ser correlacionados. Alguns destes parâmetros, como a distância internuclear, a electronegatividade, a ionicidade e a energia de dissociação, foram observados serem adequados à descrição de grupos de moléculas e séries de ligações²⁴⁻³⁰. De modo que não podemos usar estes parâmetros na descrição universal das constantes de força.

Baseado nas considerações acima, desenvolvemos um amplo estudo a respeito do problema da determinação de campos de força somente das n fundamentais e de condições de contorno. Em primeiro lugar consideramos o problema de autovalores inverso de dimensão $n = 2$. Consideramos vários métodos propostos para o cálculo de campos de força e desenvolvemos um estudo das propriedades empíricas da constante de força paramétrica escolhida como sendo F_{12} . No problema $n = 3$ estudamos a aplicabilidade da aproximação bidimensional, e os resultados da aplicação dos métodos de cálculo de campos de força desenvolvidos para $n = 2$ usando a aproximação bidimensional. A seguir descrevemos os assuntos abordados nos vários Capítulos desta tese.

No Capítulo I, apresentamos um resumo da análise em coordenadas normais das vibrações moleculares. Descrevemos a aplicação da análise feita em moléculas que consideramos em nosso trabalho. Por fim discutimos alguns problemas relativos à determinação experimental das constantes de força.

No Capítulo II, descrevemos algumas das principais propriedades da elipse de constantes de força F_{ii}/F_{12} , e algumas das aproximações a F_{12} derivados destas propriedades. Descrevemos aproximações ao cálculo de F_{12} , baseados em representações paramétricas e na construção passo a passo da matriz G . Estes métodos estão entre as mais precisas dentre as desenvolvidas na literatura, algumas das quais são testadas no Capítulo III. Por fim, chamamos atenção à apresentação da aproximação bidimensional ao problema de auto-

valores inverso em que $n > 2$, visto que iremos empregá-lo quando da extensão de métodos de cálculo desenvolvidos para $n = 2$ ao problema $n = 3$.

A aplicação dos métodos de centro-elipse, Sawodny, Thakur-Rai e Becher-Mattes no cálculo de F_{12} de algumas moléculas XY_2 não linear, XY_3 planar, XY_3 piramidal, XY_4 tetraedral e ZXY linear é descrita no Capítulo III. Os F_{12} calculados segundo estes métodos são comparados com os F_{12} experimentais e aos intervalos permitidos a F_{12} .

Baseado nas propriedades empíricas de F_{12} em relação ao acoplamento de massa e ao intervalo permitido, é proposto no Capítulo IV uma relação empírica. Um ajuste por mínimos quadrados dá uma nova expressão pelo qual F_{12} pode ser calculado com boa precisão.

Descrevemos no Capítulo V o emprego dos métodos Becher-Mattes, Sawodny, Thakur-Rai e empírico no cálculo de campos de força das moléculas $YC(H,D)_3$ ($Y = F, Cl, Br, I$) com $n = 3$. Exceto o método Becher-Mattes todos outros foram desenvolvidos para moléculas com $n = 2$. Adaptamos estes métodos ao caso $n = 3$ empregando a aproximação bidimensional.

I. ANÁLISE EM COORDENADAS NORMAIS DAS VIBRAÇÕES MOLECULARES

I-1. Coordenadas Normais^{1,31,54}

O potencial molecular pode ser descrito por uma função que depende das coordenadas de cada um dos átomos da molécula. No estudo de pequenas vibrações este potencial pode ser descrito pelo potencial do oscilador harmônico acoplado

$$V = \frac{1}{2} X^T K X$$

onde X é a matriz coluna cujos elementos são os deslocamentos dos átomos das posições de equilíbrio em coordenadas cartesianas Δx_1 , Δy_1 , Δz_1 , Δx_2 , ..., Δz_{N-1} , Δx_N , Δy_N , Δz_N . N é o número de núcleos da molécula, K é uma matriz quadrada simétrica cujos elementos são

$$K_{ij} = \left. \frac{\partial V}{\partial x_i \partial x_j} \right|_0$$

Na aproximação acima, as vibrações moleculares podem ser separadas da translação e da rotação, pelo uso das coordenadas internas das moléculas. Vários tipos de coordenadas podem ser usados, cada um dando um tipo de campo de força molecular. As coordenadas de valência, são formadas por deslocamentos das distâncias entre átomos de ligações químicas e ângulos entre estas ligações, e o potencial é conhecido como campo de forças de valência. As coordenadas centrais são formadas por deslocamentos de distâncias entre átomos da molécula e o potencial é conhecido como campo de forças centrais.

A transformação do sistema de coordenadas cartesianas X para o de coordenadas internas R é dado por $R = BX$. Em termos das coordenadas internas a Hamiltoniana molecular é escrita na forma

$$\hat{H} = \frac{\hbar^2}{2} \nabla_R^T G^{-1} \nabla_R + \frac{1}{2} R^T F R$$

onde ∇_R é matriz coluna cujos elementos são $\partial/\partial R_i$, F é a matriz da energia potencial cujos elementos são

$$F_{ij} = \left. \frac{\partial V}{\partial R_i \partial R_j} \right|_0 ,$$

G^{-1} é a matriz da energia cinética

$$G^{-1} = B^T M B$$

M é a matriz diagonal cujos $3N$ elementos estão dispostos na forma

$m_1, m_1, m_1, m_2, \dots, m_{n-1}, m_N, m_N, m_N$. O número de coordenadas internas, ou seja, o de frequências é $n = 3N - 6$ para moléculas não lineares e $n = 3N - 5$ para moléculas lineares. Sendo F uma matriz quadrada e simétrica de dimensão n , o número de constantes de força independentes é $n(n + 1)/2$. Isto implica que exceto para $n = 1$, o número de constantes de força é maior do que o de coordenadas internas.

A Hamiltoniana acima é a de um oscilador harmônico acoplado. Em termos das coordenadas normais Q , esta Hamiltoniana é desacoplada pela diagonalização de G^{-1} e F , o que permite escrever

$$H_D(Q) = \sum_i^n H_D(Q_i), \quad H_D^{(Q_i)} = \frac{\pi^2}{2} v_i^2 + \frac{1}{2} A_{ii} Q_i^2$$

ou seja, a energia vibracional da molécula é

$$E = \sum_i^n (v_i + 1/2) \hbar \omega_i, \quad v_i = 0, 1, 2, \dots$$

onde ω_i são as frequências vibracionais. A relação entre as coordenadas internas e as normais é dada por $R = LQ$. A matriz de transformação L que desacopla o oscilador molecular é tal que

$$L^T G^{-1} L = E$$

$$L^T F L = A$$

onde E é a matriz unidade, A é a matriz diagonal cujos elementos são $A_{ii} = 4\pi^2 \omega_i^2$.

Na análise em coordenadas normais tem importância a atribuição de frequências às coordenadas normais. Este é um processo de visualização esquemática, em que as frequências são associadas ao movimento de coordenadas internas. Isto se fundamenta no fato que a solução do oscilador harmônico em termos das coordenadas internas $R_k = \sum_i L_{ki} Q_i$ em geral apresenta um termo $L_{kj} Q_j$ com maior parcela de contribuição. Então $R_k \sim L_{kj} Q_j$ justifica a atribuição da j -ésima vibração normal à k -ésima coordenada interna. Morino e Kuchitsu³⁵ mostraram que a distribuição de energia

$$F_{ij} L_{ik} L_{jk} / \lambda_k$$

é mais apropriada para tal análise, pois dá uma contribuição percentual das coordenadas internas i e j à k -ésima coordenada normal.

I-2. Coordenadas de Simetria

Para melhor aproveitar as propriedades de simetria molecular foi desenvolvido o uso de coordenadas de simetria. As coordenadas de simetria são escritas em termos das coordenadas internas como $S = UR$. Cada elemento da matriz coluna S é calculado pela expressão

$$S_k(K_m) = \frac{1}{g} \sum_j x_k(R_j) R_j(K_m)$$

onde k é a espécie à qual se associa a coordenada de simetria, g é um fator de normalização, a somatória é sobre todas operações de simetria R_j , $K_m' = R_j(K_m)$ é uma transformação R_j aplicada à coordenada equivalente K_m , e $x_k(R_j)$ é o caráter da k -ésima representação irreduzível do sistema associado à transformação R_j .

As coordenadas de simetria são ortogonais quando se trata de espécies diferentes. Em coordenadas de simetria a Hamiltoniana molecular pode ser escrita

$$\hat{H} = \frac{\hbar^2}{2} v_s^t G_s^{-1} v_s + \frac{1}{2} S^t F_s S$$

onde as matrizes G_s^{-1} e F_s , que são formados por blocos de matrizes dispostos na diagonal, cada bloco correspondendo a uma das espécies. Em consequência a transformação para coordenadas normais é tal que para cada espécie temos

$$L_k^t G_k^{-1} L_k = E_k$$

$$L_k^t F_k L_k = A_k$$

onde k designa a espécie, e as dimensões das matrizes se reduz ao número de frequências observáveis de cada espécie. Cada conjunto de vibrações pertencendo à mesma espécie, pode ser estudado separadamente, sem prejuízo das propriedades caracterizado pela Hamiltoniana. De modo que o índice k das equações acima podem ser omitidos quando se pretende aplicar propriedades gerais das vibrações.

I-3. Aplicações da Análise em Coordenadas Normais

Em nosso trabalho consideramos moléculas do tipo XY_2 não linear, ZXY linear, XY_3 planar, XY_3 piramidal, XY_4 tetrahedral e ZXY_3 . Daremos a seguir o desenvolvimento em coordenadas normais aplicado a estas moléculas.

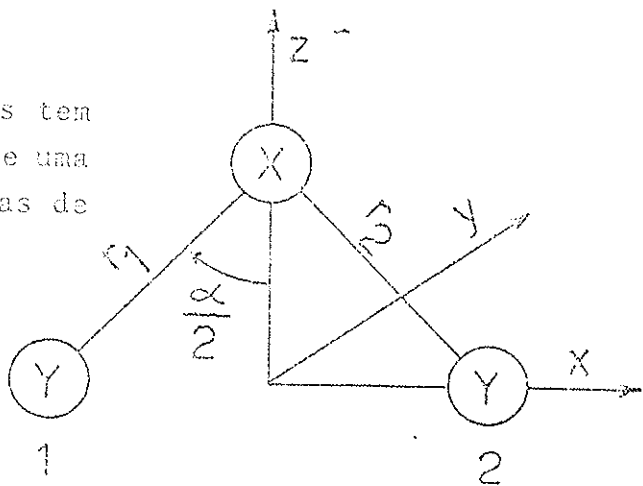
(a) Molécula XY_2 não linear

As moléculas XY_2 não lineares tem duas vibrações de espécie A_1 e uma de espécie B_1 . As coordenadas de simetria são:

$$S_1(A_1) = \frac{1}{\sqrt{2}} (\Delta r_1 - \Delta r_2)$$

$$S_2(A_1) = r \Delta \alpha$$

$$S(B_1) = \frac{1}{\sqrt{2}} (\Delta r_1 + \Delta r_2)$$



onde r é a distância XY de equilíbrio, Δr_i deformação da distância XY_i , $\Delta\alpha$ é deformação do ângulo $\hat{Y}XY$.

Os elementos da matriz G são

$$G_{11}(A_1) = \mu_x (1 + \cos\alpha) + \mu_y$$

$$G_{12}(A_1) = -\sqrt{2} \mu_x \sin\alpha$$

$$G_{22}(A_1) = 2 \left[\mu_x (1 - \cos\alpha) + \mu_y \right]$$

$$G(B_1) = \mu_x (1 - \cos\alpha) + \mu_y$$

onde $\mu_x = 1/m_x$ e $\mu_y = 1/m_y$.

Os elementos da matriz F são

$$F_{11}(A_1) = fr + frr$$

$$F_{12}(A_1) = \sqrt{2} fra$$

$$F_{22}(A_1) = fa$$

$$F(B_1) = fr - frr$$

onde as constantes de força em coordenadas internas representam

fr distensão da ligação XY

frr interação entre distensões de duas ligações XY

fa deformação do ângulo $\hat{Y}XY$

fra interação entre uma deformação de ângulo $\hat{Y}XY$ e uma distensão XY.

As equações seculares são

$$| G(A_1) F(A_1) - \lambda E | = 0$$

$$G(B_1) F(B_1) - \lambda_3 = 0$$

onde $\lambda_i = 4\pi^2 \omega_i^2$

$$G(A_1) = \begin{pmatrix} G_{11}(A_1) & G_{12}(A_1) \\ G_{12}(A_1) & G_{22}(A_1) \end{pmatrix}$$

$$F(A_1) = \begin{pmatrix} F_{11}(A_1) & F_{12}(A_1) \\ F_{12}(A_1) & F_{22}(A_1) \end{pmatrix}$$

(b) Moléculas ZXY linear

As moléculas do tipo ZXY linear tem duas vibrações de espécie Σ^+ e uma de espécie π .

As coordenadas de simetria são

$$S_1(\Sigma^+) = \Delta r_1$$

$$S_2(\Sigma^+) = \Delta r_2$$

$$S_a(\pi) = \sqrt{r_1 r_2} \phi_x$$

$$S_b(\pi) = \sqrt{r_1 r_2} \phi_y$$

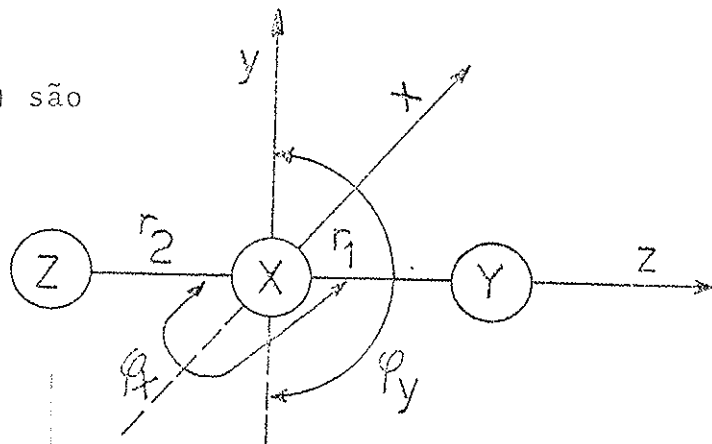
onde r_1 e r_2 são as distâncias XZ e XY de equilíbrio, ϕ_x é distorção do ângulo ZXY na direção x, e ϕ_y é a distorção do ângulo ZXY na direção y.

Os elementos da matriz $G(\Sigma^+)$ são

$$G_{11} = \mu_x + \mu_y$$

$$G_{12} = -\mu_x$$

$$G_{22} = \mu_x + \mu_z$$



Os elementos da matriz $F(\Sigma^+)$ são

$$F_{11} = fr_1$$

$$F_{12} = \sqrt{2} fr_1 r_2$$

$$F_{22} = fr_2$$

onde as constantes de força em coordenadas internas representam

Δr_1 distensão da ligação XY

Δr_2 distensão da ligação XZ

$\Delta r_1 \Delta r_2$ interação entre as distensões das ligações XY e XZ.

(c) Molécula XY_3 planar

A molécula XY_3 planar tem uma vibração de espécie A_1' e uma de espécie A_2'' , e duas de espécie E' .

As coordenadas de simetria são

$$S(A_1') = \frac{1}{\sqrt{3}} (\Delta r_1 + \Delta r_2 + \Delta r_3)$$

$$S(A_2'') = \Delta z_1 + \Delta z_2 + \Delta z_3 - 3\Delta z_4$$

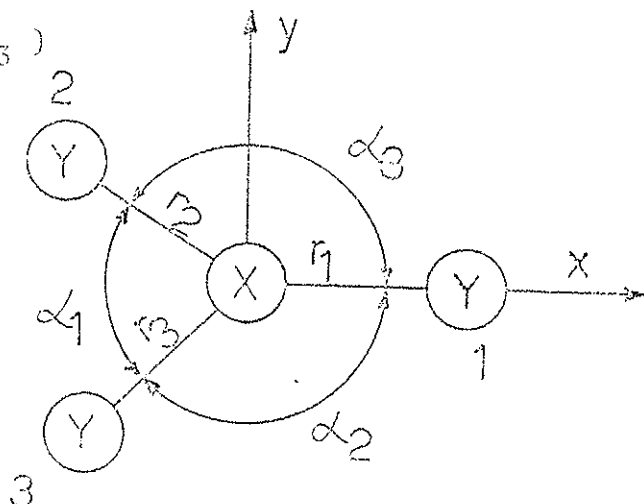
$$S_{1a}(E') = \frac{1}{\sqrt{5}} (2\Delta r_1 + \Delta r_2 + \Delta r_3)$$

$$S_{1b}(E') = \frac{1}{\sqrt{2}} (\Delta r_2 - \Delta r_3)$$

$$S_{2a}(E') = \frac{1}{\sqrt{6}} r (2\Delta\alpha_1 - \Delta\alpha_2 - \Delta\alpha_3)$$

$$S_{2b}(E') = \frac{1}{\sqrt{2}} r (\Delta\alpha_2 - \Delta\alpha_3)$$

onde Δz_i são os deslocamentos dos i-ésimos átomos no eixo z.



A coordenada A_2'' é dado em termos de deslocamentos cartesianos no eixo perpendicular ao plano da molécula e é uma espécie de deformação fora do plano. Há uma redundância na espécie A_1'

$$\frac{1}{\sqrt{3}} (\Delta\alpha_1 + \Delta\alpha_2 + \Delta\alpha_3) = 0$$

Os elementos da matriz G são

$$G(A_1') = \mu_y$$

$$G(A_2'') = 3(3\mu_x + \mu_y)$$

$$\begin{aligned}G_{11}(E') &= \frac{3}{2} \mu_x + \mu_y \\G_{12}(E') &= \frac{3}{2} \sqrt{3} \mu_x \\G_{22}(E') &= 3 \left(\frac{3}{2} \mu_x + \mu_y \right)\end{aligned}$$

Os elementos da matriz F são

$$\begin{aligned}F(A_1') &= fr + 2 frr \\F(A_2'') &= fy \\F_{11}(E') &= fr - frr \\F_{12}(E') &= fra - fra \\F_{22}(E') &= fa - fac\end{aligned}$$

onde as constantes de força em coordenadas internas representam

fr , frr , fa definidas anteriormente

fac interação entre duas deformações de ângulo \hat{YXY}

fra interação entre uma de formação de ângulo \hat{YXY} e uma distensão de uma ligação XY com dois átomos em comum

$f'ra$ interação entre uma deformação de ângulo \hat{YXY} e uma distenção de uma ligação XY com um átomo em comum

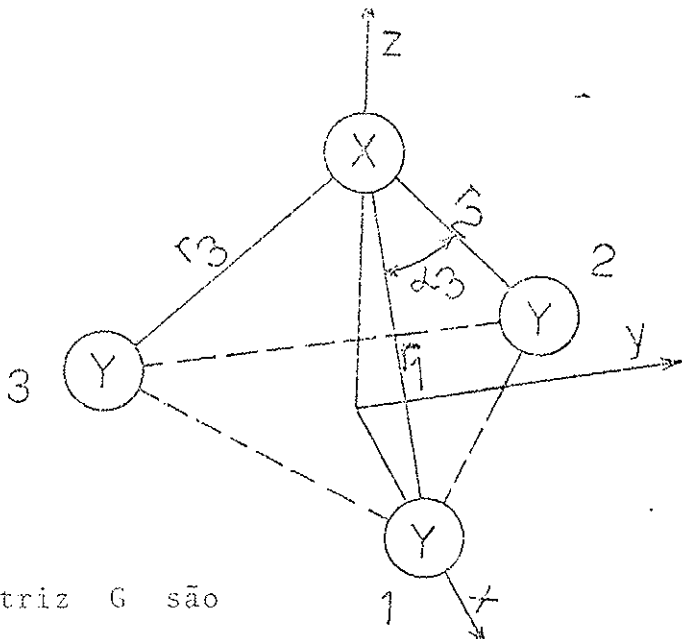
fy deslocamento do átomo X perpendicular ao plano da molécula.

(d) Molécula XY_3 piramidal

A molécula XY_3 piramidal tem duas vibrações de espécie A_1 e duas de espécie E.

As coordenadas de simetria são

$$\begin{aligned}s_1(A_1) &= 3^{-1/2} (\Delta r_1 + \Delta r_2 + \Delta r_3) \\s_2(A_1) &= 3^{-1/2} r (\Delta \alpha_1 + \Delta \alpha_2 + \Delta \alpha_3) \\s_{1a}(E) &= 6^{-1/2} (-2 \Delta r_1 + \Delta r_2 + \Delta r_3) \\s_{2a}(E) &= 6^{-1/2} r (2 \Delta \alpha_1 - \Delta \alpha_2 - \Delta \alpha_3) \\s_{1b}(E) &= 2^{-1/2} (-\Delta r_2 + \Delta r_3) \\s_{2b}(E) &= 2^{-1/2} r (\Delta \alpha_2 - \Delta \alpha_3)\end{aligned}$$



Os elementos da matriz G são

$$G_{11}(A_1) = (4 \cos^2 A - 1) \mu_x + \mu_y$$

$$G_{12}(A_1) = -2(4 \cos^2 A - 1) \mu_x \operatorname{tg} A$$

$$G_{22}(A_1) = (4 - \sec^2 A) (4 \mu_x \sin^2 A + \mu_y)$$

$$G_{11}(E) = 2 \mu_x \sin^2 A + \mu_x$$

$$G_{12}(E) = -2 \mu_x \sin^2 A \operatorname{tg} A$$

$$G_{22}(E) = 2 \mu_x \sin^2 A \operatorname{tg}^2 A + (1 + \frac{1}{2} \sec^2 A) \mu_y$$

onde $A = a/2$ é a metade do ângulo \hat{YXY} de equilíbrio.

Os elementos da matriz F são

$$F_{11}(A_1) = fr + 2frr$$

$$F_{12}(A_1) = fr\alpha + 2fr\alpha$$

$$F_{22}(A_1) = f\alpha + 2f\alpha\alpha$$

$$F_{11}(E) = fr - frr$$

$$F_{12}(E) = f'r\alpha - fr\alpha$$

$$F_{22}(E) = f\alpha - f\alpha\alpha$$

(e) Moléculas XY_4 tetraedral

A molécula XY_4 tetraedral tem uma vibração de espécie A_1 , uma de espécie E e duas de espécie F_2 .

As coordenadas de simetria são

$$S(A_1) = \frac{1}{2} (\Delta r_1 + \Delta r_2 + \Delta r_3 + \Delta r_4)$$

$$S_a(E) = \frac{1}{\sqrt{12}} r (\Delta \alpha_{23} - \Delta \alpha_{12} - \Delta \alpha_{13} + 2 \Delta \alpha_{14} - \Delta \alpha_{34} - \Delta \alpha_{24})$$

$$S_b(E) = \frac{1}{2} r (\Delta \alpha_{13} - \Delta \alpha_{12} + \Delta \alpha_{24} - \Delta \alpha_{34})$$

$$S_{1a}(F_2) = \frac{1}{2} (\Delta r_1 - \Delta r_2 + \Delta r_3 - \Delta r_4)$$

$$S_{2a}(F_2) = \frac{1}{\sqrt{2}} r (\Delta \alpha_{13} - \Delta \alpha_{24})$$

$$S_{1b}(F_2) = \frac{1}{2} (\Delta r_1 + \Delta r_2 - \Delta r_3 - \Delta r_4)$$

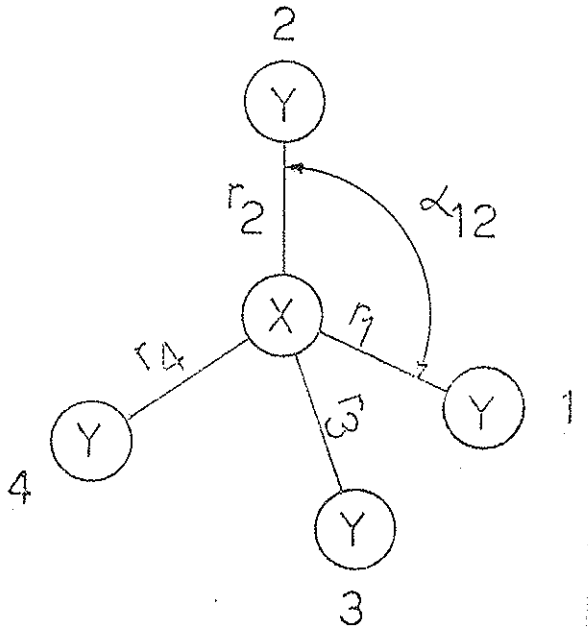
$$S_{2b}(F_2) = \frac{1}{\sqrt{2}} r (\Delta \alpha_{12} - \Delta \alpha_{34})$$

$$S_{1c}(F_2) = \frac{1}{2} (\Delta r_2 - \Delta r_1 + \Delta r_3 - \Delta r_4)$$

$$S_{2c}(F_2) = \frac{1}{\sqrt{2}} r (\Delta \alpha_{23} - \Delta \alpha_{14})$$

Há uma redundância de espécie A_1

$$\frac{1}{\sqrt{6}} r (\Delta \alpha_{12} + \Delta \alpha_{13} + \Delta \alpha_{23} + \Delta \alpha_{34} + \Delta \alpha_{24} + \Delta \alpha_{14}) = 0$$



Os elementos da matriz G são

$$G(A_1) = \mu_y$$

$$G(E) = 3 \mu_y$$

$$G_{11}(F_2) = \frac{4}{3} \mu_x + \mu_y$$

$$G_{12}(F_2) = -\frac{8}{3} \mu_x$$

$$G_{22}(F_2) = 2 \left(\frac{8}{3} \mu_x + \mu_y \right)$$

Os elementos da matriz F são:

$$F(A_1) = fr + 3frr$$

$$F(E) = fa - 2f\alpha a + f\alpha a'$$

$$F_{11}(E_2) = fr - frr$$

$$F_{12}(E_2) = \sqrt{2} (fra - fr'a)$$

$$F_{22}(E_2) = fa - f\alpha a'$$

onde fra é a constante de força da interação entre deformações de dois ângulos $Y\bar{X}Y$ com um átomo em comum.

(f) Molécula ZXY_3 tetraedral

A molécula ZXY_3 tetraedral tem três vibrações de espécie A_1 e três de espécie E .

As coordenadas de simetria são:

$$S_1 = \frac{1}{\sqrt{3}} (\Delta r_1 + \Delta r_2 + \Delta r_3)$$

$$S_2 = PS_{2a} - QS_{2b}$$

$$S_3 = \Delta R_{xz}$$

$$S_{4x} = \frac{1}{\sqrt{6}} (2\Delta r_1 - \Delta r_2 - \Delta r_3)$$

$$S_{5x} = \frac{1}{\sqrt{6}} r (2\Delta\alpha_1 - \Delta\alpha_2 - \Delta\alpha_3)$$

$$S_{6x} = \frac{1}{\sqrt{6}} d (2\Delta\beta_1 - \Delta\beta_2 - \Delta\beta_3)$$

$$S_{4y} = \frac{1}{\sqrt{2}} (\Delta r_2 - \Delta r_3)$$

$$S_{5y} = \frac{1}{\sqrt{2}} r (\Delta\alpha_2 - \Delta\alpha_3)$$

$$S_{6y} = \frac{1}{\sqrt{2}} d (\Delta\beta_2 - \Delta\beta_3)$$

onde r é a distância de equilíbrio XY , $d = \sqrt{Rr}$

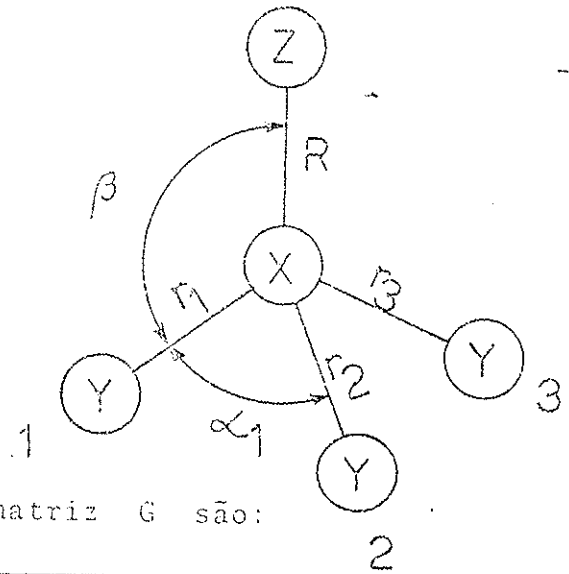
$$S_{2a} = \frac{1}{\sqrt{6}} \{ r(\Delta\alpha_1 + \Delta\alpha_2 + \Delta\alpha_3) - d(\Delta\beta_1 + \Delta\beta_2 + \Delta\beta_3) \}$$

$$S_{2b} = \frac{1}{\sqrt{6}} \{ r(\Delta\alpha_1 + \Delta\alpha_2 + \Delta\alpha_3) + d(\Delta\beta_1 + \Delta\beta_2 + \Delta\beta_3) \}$$

$$P = (1+K)/(2 + 2K^2)^{1/2}$$

$$Q = (1-K)/(2 + 2K^2)^{1/2}$$

$$K = -3 S\beta C\beta/S\alpha$$



Os elementos da matriz G são:

2

Especie A	Especie E
1-1 $\mu_y + \mu_x 3 C\beta^2$	4-4 $\mu_y + \mu_x (1-C\alpha)$
1-2 $3 \mu_x \sqrt{(K^2+1)} S\beta C\beta$	4-5 $\mu_x (1-C\alpha)^2/S\alpha$
1-3 $\mu_x \sqrt{3} C\beta$	4-6 $\mu_x 3 S\beta (C\beta-\lambda)/2$
2-2 $(K^2+1)(\mu_y + 3\mu_x S\beta^2)$	5-5 $\mu_y (3-K^2/2) + \mu_x (1-C\alpha)^3/S\alpha^2$
2-3 $\mu_x \sqrt{3(K^2+1)} S\beta$	5-6 $K \left[\mu_y - \mu_x (C\beta-\lambda)(1-C\alpha)/C\beta \right] / 2$
3-3 $\mu_x + \mu_z$	6-6 $\mu_y + 3 \mu_x (C\beta-\lambda)^2/2 + 3 \mu_z \lambda^2/2$

onde $C\alpha = \cos\alpha$, $S\alpha = \sin\alpha$, $\lambda = r/R$.

Os elementos da matriz F são

$$F_{11} = fr + 2frr$$

$$F_{22} = \frac{(P-Q)^2}{2} (f\alpha + 2f\alpha\alpha) + \frac{(P+Q)^2}{2} (f\beta + 2f\beta\beta) - (P^2-Q^2)(f\alpha\beta - 2f\alpha\beta)$$

$$F_{33} = fR$$

$$F_{13} = 3 frR$$

$$F_{12} = \frac{(P-Q)}{\sqrt{2}} (fr\alpha + 2fr'\alpha) - \frac{(P+Q)}{\sqrt{2}} (fr\beta' + 2fr\beta)$$

$$F_{23} = \sqrt{3} \left[\frac{(P-Q)}{\sqrt{2}} fr\alpha - \frac{(P+Q)}{\sqrt{2}} fr\beta \right]$$

$$F_{44} = fr - frr$$

$$F_{45} = fr\alpha - fr'\alpha$$

$$F_{55} = f\alpha - f\alpha\alpha$$

$$F_{46} = fr\beta' - fr\beta$$

$$F_{66} = f\beta - f\beta\beta$$

$$F_{56} = f\alpha\beta - f'\alpha\beta$$

I-4. Determinação Experimental das Constantes de Fórmula

(a) Correção anharmonica e de ressonância

A relação entre as frequências e as constantes de fórmula se faz pressupondo um potencial molecular harmônico. Contudo termos de maior ordem na expansão do potencial molecular dão origem à anharmonicidade, de modo que as frequências observadas ν_i são diferentes das frequências harmônicas ω_i com que a molécula vibraria se somente os termos de segunda ordem estivessem presentes. As correções nas frequências observadas ν_i necessárias para a obtenção de ω_i são da ordem de alguns porcento, sendo maior em vibrações de ligações com o hidrogênio com cerca de 6%. Os termos de ordem superior podem dar ainda origem a interações de ressonância entre níveis vibracionais quando próximos, causando deslocamentos nas frequências observadas. Em princípio estas correções podem ser determinadas pelo estudo dos harmônicos e bandas de combinação.

Contudo, na falta de harmônicos e bandas de combinação em número suficiente, a correção harmônica pode ser feita aproximadamente usando o procedimento de Dennison e Hansen^{36,37}, isto é, supondo que a relação entre ν_i e ω_i seja da forma

$$\nu_i = \omega_i (1 - x_i)$$

e denotando as mesmas quantidades para as vibrações correspondentes das espécies isotópicas com um asterístico

$$\frac{x_i^*}{x_i} = \frac{\omega_i^*}{\omega_i} = \frac{\nu_i^*}{\nu_i}$$

onde x_i é constante de anharmonicidade. Esta relação é bastante precisa para moléculas diatômicas e é uma boa aproximação para as moléculas poliatômicas. Quando as duas equações acima são combinadas com a Regra de Tellier-Redlich³⁸

$$\sqrt{\frac{\text{Det}(G^*)}{\text{Det}(G)}} = \frac{\omega_1^* \dots \omega_n^*}{\omega_1 \dots \omega_n}$$

com alguns harmônicos e bandas de combinação representativos, e com a hipótese auxiliar de que vibrações semelhantes em diferentes moléculas apresenta anharmonicidades semelhantes, há em geral dados suficientes para calcular ω_i com boa precisão.

(b) Dados Adicionais

Somente as frequências vibracionais não são suficientes para determinar todas constantes de força. A equação secular é de ordem n , isto é, há n frequências mensuráveis e $n(n+1)/2$ constantes de força independentes. Uma solução clássica para isto é o uso de frequências de várias espécies isotópicas. Contudo, estes dados são em alguns casos inadequados para a determinação das constantes de força, mesmo que o número de dados exceda o número destas constantes.³⁸⁻⁴¹

O estudo da interação vibração-rotação fornece dados extra que podem ser usados no cálculo das constantes de força. As constantes ξ de Coriolis^{2,3} são frequentemente muito sensíveis ao grau de mistura das coordenadas e portanto dos termos fora da diagonal de F . As constantes de Coriolis estão relacionadas com a análise em coordenadas normais pela relação

$$\xi^\alpha = (L^{-1})^C \alpha (L^{-1})^t$$

em que $\alpha = x, y$ ou z .

$$C^\alpha = B I_\mu^\alpha B^t$$

$$I_\mu^\alpha = \text{diag} \left[(I_\mu^\alpha)_1, (I_\mu^\alpha)_2, \dots, (I_\mu^\alpha)_N \right]$$

$$(I_\mu^x)_i = \begin{bmatrix} 0 & 0 & 0 \\ 0 & 0 & v_i \\ 0 & -v_i & 0 \end{bmatrix}, \quad (I_\mu^y)_i = \begin{bmatrix} 0 & 0 & -v_i \\ 0 & 0 & 0 \\ v_i & 0 & 0 \end{bmatrix}, \quad (I_\mu^z)_i = \begin{bmatrix} 0 & v_i & 0 \\ -v_i & 0 & 0 \\ 0 & 0 & 0 \end{bmatrix}$$

onde $\mu_i = I/m_i$. Outras relações úteis são apresentadas por Cyvin⁴². As constantes ξ de Coriolis são determinadas do espectro de micro-ondas e espectros de vibração-rotação de alta resolução. Do mesmo modo as constantes de distorção centrifuga⁴ são determinadas por estes espectros, e são relacionados com F através de

$$\tau_{\alpha\beta\gamma\delta} = \sum_{i,j} \mu_{\alpha\beta}^i (F^{-1})_{ij} \mu_{\delta\gamma}^j$$

onde $\mu_{\alpha\beta}^i = (\partial \mu_{\alpha\beta} / \partial R_i)$, $\mu_{\alpha\beta}$ é um elemento do inverso do momento do tensor de inércia da molécula e $\alpha, \beta, \gamma, \delta = x, y$ ou z .

Finalmente o espectro de difração de eletrons^{5,6} está relacionado com a análise em coordenadas normais pela relação

$$\Sigma = L \delta L^t$$

onde os elementos da matriz Σ são as amplitudes quadráticas médias generalizadas⁵¹, e δ é a matriz diagonal cujos elementos são

$$\delta_{ii} = \frac{\pi}{4\pi c\omega_i} \coth\left(\frac{hc\omega_i}{kT}\right)$$

$$\delta_{ij} = 0, \quad i \neq j$$

(c) Dificuldades de Cálculo

A relação entre F e as frequências vibracionais, as constantes de interação vibração-rotação e as amplitudes quadráticas médias se faz através de equações não lineares. Para algumas moléculas de alta simetria e com poucos átomos, as equações podem ser resolvidas analiticamente. Contudo em casos gerais é preciso resolver as equações não lineares. O método mais usado é o de refinamento por mínimos quadrados. Este método é iterativo, e iniciamos com uma matriz F_0 e somamos acréscimos ΔF afim de que $F_0 + \Delta F$ se ajuste melhor aos dados experimentais. Este acréscimo é calculado por⁴³

$$\Delta F = [J^T W J]^{-1} J^T W \varepsilon$$

onde J é a matriz Jacobiana, ε é a matriz coluna das diferenças entre os dados experimentais e os calculados, e W é a matriz diagonal dos pesos dos vários dados experimentais.

II. DESCRIÇÃO DE ALGUMAS APROXIMAÇÕES AO CÁLCULO DE CAMPOS DE FÓRCA MOLECULARES.

II-1. Propriedades das Elipses de Constantes de Fórmula 21,44

A relação entre a matriz da energia potencial F , a matriz da energia cinética G e as vibrações fundamentais no caso $n = 2$ é dada pela equação secular

$$\left| \begin{pmatrix} G_{11} & G_{12} \\ G_{12} & G_{22} \end{pmatrix} \begin{pmatrix} F_{11} & F_{12} \\ F_{12} & F_{22} \end{pmatrix} - \lambda \begin{pmatrix} 1 & 0 \\ 0 & 1 \end{pmatrix} \right| = 0$$

Desenvolvendo este determinante chegamos à expressão

$$\lambda^2 + \lambda (G_{11}F_{11} + 2G_{12}F_{12} + G_{22}F_{22}) + D(F_{11}F_{22} - F_{12}^2) = 0$$

onde $D = \text{Det}(G)$. A equação acima tem duas soluções λ_1 e λ_2 . Podemos escrever as equações das elipses de constantes de fórmula F_{ii}/F_{12} como

$$G_{ii}F_{ii}^2 + 2G_{12}F_{12}F_{ii} + G_{jj}F_{12}^2 + A F_{ii} + G_{jj}B/D = 0$$

onde $A = \lambda_1 + \lambda_2$, $B = \lambda_1\lambda_2$ e os λ_i são autovalores da equação secular relacionados com as frequências vibracionais ω_i pela relação $\lambda_i = 4\pi^2\omega_i^2$.

As coordenadas do centro da elipse são

$$F_{12}^0 = -\frac{G_{12}A}{2D}$$

$$F_{ii}^0 = \frac{G_{ii}A}{2D}$$

O intervalo $[F_{12}^{\leq}, F_{12}^{\geq}]$ no qual F_{12} está contido é:

$$F_{12}^{1,2} = -G_{12}A/D \mp \left[(G_{12}A/D)^2 + 4G_{11}G_{22}B/D^2 + A^2/D \right]^{1/2}$$

onde $F_{12}^{\geq} = \max \{ F_{12}^{1,2} \}$.

Os semieixos são dados por

$$a_i = \left[\frac{G_{ii}(\lambda_1 - \lambda_2)^2}{2D(G_{11} + G_{22} - R)} \right]^{1/2}$$

$$b_i = \left[\frac{G_{jj} (\lambda_1 - \lambda_2)^2}{2D (G_{11} + G_{22} + R)} \right]^{1/2}$$

com $R = \left[(G_{jj} - G_{ii})^2 + 4 G_{12}^2 \right]^{1/2}$, dando portanto uma razão

$$\frac{b_i}{a_i} = \left[\frac{G_{11} + G_{22} - R}{G_{11} + G_{22} + R} \right]^{1/2}$$

e a excentricidade

$$\epsilon = \frac{(a_i^2 - b_i^2)^{1/2}}{a_i} = \left[\frac{2R}{G_{11} + G_{22} + R} \right]^{1/2}$$

O eixo maior $2a_i$ é inclinado em relação ao eixo F_{12} de um ângulo dado por

$$\tan 2\phi_i = \frac{\pm G_{12}}{G_{jj} - G_{ii}}$$

Usando as fórmulas acima podemos estudar a influência da matriz G e dos autovalores na forma e na posição das elipses de constantes de força. Em primeiro lugar notamos que a inclinação (ϕ_i) e a forma (ϵ) das elipses só dependem de G . Por outro lado a extensão das elipses (a_i e b_i) são determinadas por G e pela diferença dos autovalores. Finalmente notamos que partindo de $G_{12} = 0$ e aumentando G_{12} , ϕ_i aumenta ao mesmo tempo que o F_{12}^o se desloca em direção a valores mais negativos em relação a G_{12} .

Se o assinalamento dos autovalores λ_i ao correspondente G_{ii} é conhecido, como acontece para a maioria das espécies contendo dois modos normais, a metade do campo de possíveis soluções podem ser omitidas porque pertencem ao assinalamento reverso. Portanto, para $\lambda_1 > \lambda_2$ a metade inferior da elipse F_{11}/F_{12} e a metade superior da elipse F_{22}/F_{12} não precisam ser consideradas. Soluções entre $F_{12} \approx \frac{1}{2} F_{12}^o$ e F_{12}^o , podem em geral ser excluídas em vista da contribuição muito grande para a distribuição de energia potencial^{8,44}. Caso o campo de valores possíveis de F_{12} seja muito grande, ela pode ser diminuída, levando em conta os valores GVFF observados. Independentemente da matriz G ou frequências vibracionais, o valor limite de F_{12} pode ser considerado $|2-5| \text{ mdina/}\text{\AA}$. Mesmo que a hipótese de Fadini²⁰ de que F_{12} não pode ter o mesmo sinal de G_{12} não seja estritamente verdadeira^{45,47}, estes casos são raros e somente valores pequenos foram encontrados e um limite razoável é $|0.5| \text{ mdina/}\text{\AA}$.

II-2. Aproximação $F_{12} \approx 0$ para $n = 2$

A relação explícita entre F_{ii} e F_{12} pode ser escrita na forma

$$2G_{ii}F_{ii} = A - 2G_{12}F_{12} \pm ((A - 2G_{12}F_{12})^2 - 4G_{11}G_{22}(B/D + F_{12}^2))^{1/2}$$

Na aproximação $F_{12} = 0$ esta relação se reduz à forma

$$2G_{ii}F_{ii} = \lambda_1 + \lambda_2 \pm (\lambda_1^2 + \lambda_2^2 - 2B(G_{11}G_{22} + G_{12}^2)/D)^{1/2}$$

Esta relação gera dois conjuntos de soluções. A escolha entre estes conjuntos é feita com base em considerações físicas. Por exemplo se F_{11} for relacionado à constante de força de distensão e F_{22} à de deformação

$$2G_{11}F_{11} = \lambda_1 + \lambda_2 + (\lambda_1^2 + \lambda_2^2 - 2B(G_{11}G_{22} + G_{12}^2))^{1/2}$$

$$2G_{22}F_{22} = \lambda_1 + \lambda_2 - (\lambda_1^2 + \lambda_2^2 - 2B(G_{11}G_{22} + G_{12}^2))^{1/2}$$

A escolha destas formas obedece à relação $F_{11} > F_{22}$.

Nem sempre a aproximação $F_{12} = 0$ é factível. Neste caso o determinante

$$\Delta = (A - 2G_{12}F_{12})^2 - 4G_{11}G_{22}(B/D + F_{12}^2)$$

fica negativo se $F_{12} = 0$. A aproximação mais simples que pode ser adotada neste caso é $F_{12} = F_{12}^{\text{c}}$. Comportamento deste tipo pode ser observado em algumas moléculas na Tabela I. Por exemplo, no $^{12}\text{CF}_4$, [0.538, 6.287].

II-3. Aproximação $F_{ij} \approx 0$ para $n \geq 2$

Quando o determinante secular é maior do que dois, mesmo supondo $F_{ij} = 0$ ($i \neq j$), o cálculo dos elementos F_{ii} é complexo. Assim, o método iterativo de cálculo que citamos na secção II-4 é de grande utilidade para os cálculos de campos de força moleculares com $n > 2$. Adaptado ao ajuste de n constantes de força a partir de n fundamentais, o incremento pode ser escrito na forma

$$\Delta F = \left[J^T W J \right]^{-1} J^T W [\lambda^0 - \lambda]$$

onde $W_{ij} = 1/\lambda_i^{02}$ se $i = j$ e zero se $i \neq j$.

Os elementos da matriz J

$$J_{ik} = \frac{\partial \lambda_i}{\partial F_{kk}}$$

podem ser calculados usando a relação

$$L^T F L = A$$

Neste caso, supondo $\partial L_{\ell m} / \partial F_{kk} = 0$

$$J_{ik} = L_{ki}^2$$

A matriz inicial pode ser calculada como

$$F_{ii} = \lambda_i / G_{ii}^{\text{diag}}$$

$$F_{ij} = 0 \quad (i \neq j)$$

onde G_{ii}^{diag} é elemento da matriz G diagonalizada.

O processo de cálculo acima descrito converge rapidamente, sendo possível fixar o número máximo de interações em dez. A não convergência, isto é, quando o método não reproduz exatamente as frequências experimentais, indica que a aproximação $F_{ij} = 0$ não é verdadeira para todos F_{ij} . Alguns ou alguns dos F_{ij} devem ser necessariamente fixados em valores diferentes de zero. Isto pode ser compreendido na aproximação bidimensional em F_{ij} ⁴⁸. Nesta aproximação considera-se a matriz

$$(GF)^{ij} = \begin{pmatrix} G_{ii} & G_{ij} \\ G_{ij} & G_{jj} \end{pmatrix} \begin{pmatrix} F_{ii} & F_{ij} \\ F_{ij} & F_{jj} \end{pmatrix}$$

e procura-se analisar as propriedades relacionadas ao determinante secular

$$| (GF)^{ij} - \lambda E | = 0$$

As raízes λ deste determinante são supostas iguais às raízes λ_i e λ_j da equação secular

$$| GF - \lambda E | = 0$$

A equação da elipse de constantes de força F_{kk}/F_{ij} é

$$G_{kk} F_{kk}^2 - 2G_{ij} F_{ij} F_{kk} + G_{jj} F_{ij}^2 + A_{ij} F_{kk} + G_{jj} B_{ij}/D_{ij} = 0$$

onde $A_{ij} = \lambda_i + \lambda_j$, $B_{ij} = \lambda_i \lambda_j$, $D_{ij} = G_{ii} G_{jj} - G_{ij}^2$.

Os valores de F_{ij} devem ser tais que

$$A_{ij} = (A_{ij} - 2G_{ij} F_{ij})^2 - 4G_{ii} G_{jj} (B_{ij}/D_{ij} + F_{ij}^2)$$

sejam positivos.

Embora a aproximação bidimensional implique em erros nem sempre desprezíveis, ela é muito útil na análise de aproximações que sejam feitas em F_{ij} . Na Tabela 4, observamos por exemplo um caso em que a aproximação designada F_{ij}^c é inadequada. Um valor de F_{ij}^c está fora do intervalo $[F_{ij}^1, F_{ij}^2]$, dos valores permitidos a F_{ij} , com

$$F_{ij}^{1,2} = -G_{ij}A_{ij}/D_{ij} \mp \left[(G_{ij}A_{ij}/D_{ij})^2 + 4G_{ii}G_{jj}B_{ij}/D_{ij}^2 + A_{ij}^2/D_{ij} \right]^{1/2}$$

Embora este intervalo seja apenas aproximado, bastou que F_{ij}^c estivesse fora deste intervalo para que o método iterativo de cálculos dos F_{ij} divergisse.

II-4. Aproximação de Sawodny

Levando em consideração as propriedades da elipse de constantes de força F_{ii}/F_{12} , Sawodny²¹ discutiu a possibilidade do uso das condições de extremo das elipses de constantes de força como aproximações para fixar F_{12} . Dos extremos de F_{12} , que correspondem às condições de $\partial F_{12}/\partial F_{ii} = 0$ ⁴⁹, somente $F_{12}^{\leq} \equiv F_{12}^1$ ou F_{12}^2 , mais próximo em sinal a G_{12} . Entretanto, em geral F_{12}^{\leq} pode ser pequeno ou ter o mesmo sinal de G_{12} . Como em geral o sinal de G_{12} é o oposto de F_{12} , F_{12}^{\leq} não pode ser considerado uma boa aproximação a F_{12} .

O caso $F_{11} = \max(F_{12})$ é calculado segundo $\partial F_{11}/\partial F_{12} = 0$ e tomando a maior das raízes, com

$$F_{12} = -G_{12}\lambda_1/D$$

$$F_{11} = G_{22}\lambda_1/D$$

$$F_{22} = \frac{D\lambda_2 + G_{12}^2\lambda_1}{G_{22}D}$$

Neste caso F_{12} está entre F_{12}^0 e $F_{12}^>$ ou seja, $F_{11} = \max(F_{12})$ é uma aproximação boa para o GVFF somente se $F_{12} \sim 0$, isto é, para valores pequenos de $|G_{12}|$. Isto é válido para um número limitado de moléculas, isto é, os hidretos⁹. Por outro lado, $F_{22} = \min(F_{12})$ calculado a partir da condição $\partial F_{22}/\partial F_{12} = 0$ e tomando a menor das raízes, com

$$F_{12} = -G_{12}\lambda_2/D$$

$$F_{11} = \frac{D\lambda_1 + G_{12}^2\lambda_2}{G_{11}D}$$

$$F_{22} = G_{11} \lambda_2 / D$$

é mais promissor para não hidretos.

F_{12} segundo $F_{22} = \min(F_{12})$ move-se do centro da elipse em direção a F_{12}^S para valores crescentes de $|G_{12}|$ e deste modo tende para o campo dos valores prováveis de F_{12} . Contudo, devemos notar que a contribuição em F_{12} é totalmente em λ_2 . A aproximação $F_{22} = \min(F_{12})$ foi observada boa para o caso de moléculas do tipo XY_n e $|G_{12}|$ pequenos. Neste caso as moléculas contêm um único tipo de ligação de modo que a única combinação possível é um modo de distensão (ω) e um modo de deformação (δ). A aplicação da aproximação $F_{22} = \min(F_{12})$ não é válida para outros tipos de interações, como aquela entre duas distensões XZ e XY, entre duas deformações e entre uma distensão e uma deformação cada uma incluindo diferentes tipos de ligações (ω_{zx} e δ_{zyn}).

A aproximação $F_{22} = \min(F_{12})$, não é boa para $|G_{12}|$ grandes. Contudo foi observado empiricamente²³, que a multiplicação de F_{12} por $|G_{12}/(G_{11}G_{22} + G_{12}^2)^{1/2}|$ leva a novos valores de F_{12} , F_{12}^C que constituem em uma aproximação melhor.

II-5. Representação Paramétrica da Solução Geral do Problema Inverso de Autovalores²²

Vamos considerar a solução geral do problema inverso de autovalores para o grau $n = 2$. A Hamiltoniana do oscilador harmônico molecular é

$$\hat{H} = \frac{\hbar^2}{2} v_R^t G^{-1} v_R + \frac{1}{2} R^t F R$$

Esta Hamiltoniana pode ser diagonalizada por duas transformações. O primeiro é $R = L_O Q'$ que diagonaliza G^{-1} , e o segundo é $Q' = U Q$ que diagonaliza $L_O^t F L_O$. Consequentemente teremos

$$U^t L_O^t G^{-1} L_O U = E$$

$$U^t L_O^t F L_O U = A$$

onde U é uma matriz unitária definida por

$$U = \begin{pmatrix} \cos\psi & -\sin\psi \\ \sin\psi & \cos\psi \end{pmatrix}$$

No problema inverso de autovalores a solução geral é conforme discutido por Taylor⁴⁹

$$F = (L_o^{-1})^t U \Lambda U^t (L_o^{-1})$$

e a matriz L_o satisfaz a condição

$$G = L_o L_o^t$$

Para o problema de grau $n = 2$, temos apenas uma constante de força paramétrica. Isto é, podemos representar a solução do problema inverso de autovalores por apenas um parâmetro livre. Usando a matriz

$$L_o = \begin{pmatrix} \sqrt{G_{11}} & 0 \\ 0 & \sqrt{G_{22}} \end{pmatrix} \begin{pmatrix} \cos\chi & -\sin\chi \\ -\sin\chi & \cos\chi \end{pmatrix}$$

onde $\sin 2\chi = -\frac{G_{12}}{\sqrt{G_{11}G_{22}}}$

$$-\frac{\pi}{4} \leq \chi \leq \frac{\pi}{4}$$

que satisfaçõa a condição $G = L_o L_o^t$, podemos escrever

$$F_{11} = \left[\frac{A}{2} + \frac{\lambda_1 - \lambda_2}{2} \cos 2(\psi - \chi) \right] \frac{G_{22}}{D}$$

$$F_{22} = \left[\frac{A}{2} + \frac{\lambda_1 - \lambda_2}{2} \cos 2(\psi + \chi) \right] \frac{G_{11}}{D}$$

$$F_{12} = -\frac{A}{2} \frac{G_{12}}{D} + \frac{\lambda_1 - \lambda_2}{2} \sin 2\psi \frac{\sqrt{G_{11}G_{22}}}{D}$$

onde ψ é um parâmetro livre. Em termos desta representação foram estudadas muitas condições matemáticas para o cálculo de constantes de força aproximadas, das quais discutiremos algumas delas^{8,14}.

(a) Condição de Becher e Ballein⁸

Esta condição é dada para sistemas tendo apenas um modo de distensão e um modo de deformação. A condição consiste em impor que a energia potencial da vibração de distensão seja totalmente determinada pela constante de força de distensão, isto é, as contribuições da deformação e das constantes de interação se cancelam mutuamente. Usando a representação paramétrica, a condição pode ser escrita

$$\frac{\lambda_1}{G_{11} \cos^2(\psi + \chi)} = \left[\frac{A}{2} + \frac{\lambda_1 - \lambda_2}{2} \cos 2(\psi - \chi) \right] \frac{G_{22}}{D}$$

se λ_i é assinalado ao modo de distenção e F_{ii} à constante da ligação correspondente.

Esta equação apresenta duas soluções. A primeira, $\psi = \chi$ significa que as contribuições das constantes de força de deformação e de distensão tendem a zero independentemente. A segunda solução corresponde à condição de Becher e Ballein, e da valores de F_{ii} entre os limites:

$$\frac{\lambda_1}{G_{11}} < F_{ii} < \frac{\lambda_1}{G_{11}} + \frac{\lambda_2}{G_{11}} \frac{G_{12}^2}{D}$$

O limite superior corresponde a $\psi = -\chi$ e o inferior a $\psi \geq \psi_o$, onde ψ_o é o valor para o qual $F_{12} = 0$. O método apresenta soluções tais que $F_{12} = -\text{sinal } G_{12}$. Para $\lambda_1 \gg \lambda_2$ o método nos dá $\psi \approx -\chi$ e para $G_{12}^2 \ll D$, $F_{12} \approx 0$.

(b) Condição de Strey⁹

Num estudo da posição do GVFF em relação as curvas paramétricas das constantes de força, Strey observou que para os hidretos XH_2 ($X = O, S, Se$) e YH_3 ($Y = N, P, As, Sb$) os valores de ψ se aproximam da condição $F_{ii} = \max(\psi)$ e para ZO_2 ($Z = S, N, Cl$) os valores de ψ se aproximam da condição $F_{22} = \min(\psi)$. Isto é, para os hidretos e não hidretos respectivamente

$$\begin{aligned} \psi = \chi \quad F_{ii} &= \frac{G_{22}}{D}, \quad F_{12} = -\frac{\lambda_1 G_{12}}{D}, \quad F_{22} = \frac{\lambda_2}{G_{22}} + \frac{\lambda_1 G_{12}^2}{G_{22} D} \\ \psi = -\chi \quad F_{ii} &= \frac{\lambda_1}{G_{11}} + \frac{\lambda_2 G_{12}^2}{G_{11} D}, \quad F_{12} = -\frac{\lambda_2 G_{12}}{D}, \quad F_{22} = \frac{\lambda_2 G_{11}}{D} \end{aligned}$$

A condição $F_{22} = \min(\psi)$ corresponde exatamente a um dos extremos da condição de Becher e Ballein e a $F_{22} = \min(F_{12})$ da elipse de constantes de força, e $F_{ii} = \min(\psi)$ corresponde a $F_{ii} = \min(F_{12})$.

(c) Método de Becher e Mattes¹⁰

Este método é aplicável a qualquer grau no problema inverso de autovalores, isto é, a qualquer grau n do determinante secular. Este método tem como ponto de partida uma matriz diagonal cujos elementos são definidos por

$$F_{ii}^0 = \lambda_i / G_{ii}$$

$$F_{ij}^0 = 0 \quad (i \neq j)$$

onde os λ_i são autovalores relacionados à i -ésima coordenada normal e G_{ii} é um elemento da matriz G . A matriz F é calculada passo a passo em interações sucessivas onde a matriz G é também introduzida. Cada passo consiste em dois ítems:

- (a) Usando a matriz F^{m-1} calculada no $(m-1)$ º esimo paço, uma matriz L_m é calculada de

$$G^m F^{m-1} L_m = L_m A_m$$

- (b) A matriz L_m é usada no cálculo de F^m por

$$F^m = (L_m^{-1})^t \Lambda L_m^{-1}$$

A matriz F^m pertence ao conjunto de soluções do problema inverso de autovalores para a matriz G . A matriz G^m foi definida originalmente por

$$G^m = G^{\text{diag}} + f\left(\frac{m}{m_0}\right) G^{\text{não-diag}}$$

onde $f(m/m_0)$ é uma função que satisfaz a condição $f(0) = 0$ e $f(1) = 1$, e m_0 é o número máximo de interações.

O método foi estudado analiticamente para o grau $n=2$ por Pfeiffer²², com o auxílio da representação

$$F^m = F^m(\lambda_1, \lambda_2, \chi_m, \psi_m)$$

onde

$$\operatorname{sen} 2\psi_m = -f\left(\frac{m}{m_0}\right) \frac{G_{12}}{\sqrt{G_{11} G_{22}}}$$

Considerando a definição $G_{12}^m = \frac{m}{m_0} G_{12}$, foi mostrado para os casos limites $m_0 = 1$ e $m_0 = \infty$ que

$$m_0 = 1 \quad \operatorname{tg} 2\chi_1 = \frac{Sr}{\sqrt{1-r^2}}$$

$$m_0 = \infty \quad \operatorname{tg} 2\chi_\infty = \frac{(1+r)^S - (1-r)^S}{2(1-r^2)^{S/2}}$$

$$\text{onde } r = \frac{G_{12}}{\sqrt{G_{11} G_{22}}} \quad \text{e} \quad S = \frac{\lambda_1 + \lambda_2}{\lambda_1 - \lambda_2}$$

A matriz inicial de Becher e Mattes corresponde ao caso $\operatorname{tg} 2\psi_0 = 0$. Para os vários limites de ψ , χ , ψ_1 , ψ_∞ , ψ_0 a

seguinte inequação é válida:

$$\operatorname{tg} 2\psi_0 < \operatorname{tg} 2\psi_\infty < \operatorname{tg} 2\psi_1 < \operatorname{tg} (-2\chi)$$

para o caso $G_{12} < 0$, e para $G_{12} > 0$ a sequência é permutada. Isto é, para $G_{12} = 0$, a solução ψ_1 como ψ_∞ são iguais a zero e portanto $F_{12} = 0$. Este método foi testado para as moléculas XH_2 ($X = O, S, Se$), XH_3 ($Y = N, P, As, Sb$), ZO_2 ($Z = N, S, Cl$), BF_3 , NO_3^- , CF_4 , CCl_4 e SiF_4 . Os resultados foram excelentes para os não hidretos.

O método de Fadini é bastante semelhante ao de Becher-Mattes, e foi a primeira apresentação do conceito de construção por passos. Contudo, o método de Fadini é mais complicado, embora leve a soluções análogas ao de Becher-Mattes.

III. APLICAÇÃO DE ALGUMAS APROXIMAÇÕES AO CÁLCULO DE CAMPOS DE FÔRCA MOLECULARES A $n = 2$.

Os campos de fôrça moleculares calculados experimentalmente, indicam que em geral $|F_{12}|$ está limitada a $|2 - 3| \text{ mdyn}/\text{\AA}$ com sinal oposto ao de G_{12} , isto é, sinal $F_{12} = -$ sinal G_{12} . O caso sinal $F_{12} =$ sinal G_{12} é muito raro e $|F_{12}|$ está em geral limitado por $|0.5| \text{ mdyn}/\text{\AA}$. De modo que escolhemos para o presente estudo somente moléculas onde sinal $F_{12} = -$ sinal G_{12} e deixamos as moléculas com sinal $F_{12} =$ sinal G_{12} para futuras considerações. As moléculas que consideramos em nosso estudo foram as XY_2 não linear, XY_3 planar, XY_3 piramidal, XY_4 tetraedral e ZXY linear. A análise em coordenadas normais destas estruturas moleculares são apresentadas no Capítulo I, secção 3. Nosso estudo se refere às espécies cuja equação secular tenha dimensão igual a dois ($n = 2$). As frequências experimentais (ω_i) e os elementos da matriz G são apresentadas na Tabela 1.

III-1. Centro da Elipse de Constantes de Fôrça

A maioria dos métodos mais precisos de cálculo de constantes de fôrça e um grande número de campos de fôrça calculados experimentalmente mostram para valores pequenos de G_{12} (especialmente os hidretos), que os valores de F_{12} estão em torno de F_{12}^0 . Das Tabelas 1 e 2, podemos observar que para valores pequenos de G_{12} , F_{12}^0 reproduz aproximadamente os valores experimentais F_{12}^e . Para outras moléculas onde G_{12} apresenta valores significativos, F_{12}^0 é maior do que F_{12}^e .

Supondo F_{12}^0 como uma condição de contorno aplicável ao cálculo de F_{12} , calculamos para efeito de comparação o erro definido segundo a fórmula:

$$\sigma^k = \left[\sum_{i=1}^N [F_{12}^e(i) - F_{12}^k(i)]^2 / N \right]^{1/2}$$

onde i indica cada molécula e N é o número de moléculas consideradas. Cumpre notar que consideramos para efeito de cálculo, as espécies A_1 e E das moléculas piramidais XY_3 como moléculas distintas. Para F_{12}^0 obtivemos $\sigma^0 = 4.49$. Este resultado está de acordo com a observação de que $F_{12} \approx F_{12}^e$ para valores pequenos de G_{12} e $F_{12}^0 \gg F_{12}^e$ para valores grandes de G_{12} .

III-2. Aproximações de Sawodny e Thakur-Rai

Foi observado em moléculas onde G_{12} é pequeno, que uma das aproximações mais precisas é aquela proposta por Sawodny

$$F_{12}^S = F_{12} \quad (F_{22} = \min(F_{12})) = -\lambda_2 G_{12}/D$$

Dos resultados dos cálculos apresentados na Tabela 2, observamos as seguintes correlações:

$$F_{12}^S < F_{12}^O$$

$$F_{12}^S \gtrsim F_{12}^e \quad \text{para os hidretos}$$

$$F_{12}^S > F_{12}^e \quad \text{para os halogênios e óxidos}$$

O valor do erro é $\sigma^S = 0.62$,

Os resultados acima obtidos podem ser interpretados em termos dos efeitos dos acoplamentos de massa nas vibrações. Em moléculas do tipo XY_n , a grandeza do acoplamento de massa pode ser estimado pela fórmula:

$$M_y/M_x$$

Assim, nos hidretos o efeito de acoplamento de massa é pequeno, traduzido em termos dos elementos da matriz G por valores pequenos de G_{12} . Nos halogênios e óxidos o efeito de acoplamento de massa é maior, traduzido em termos dos elementos da matriz G por valores grandes de G_{12} . De modo que podemos dispor os resultados dos cálculos apresentados na Tabela 2 na forma

$$F_{12}^S \sim F_{12}^O \sim F_{12}^e \quad \text{acoplamento de massa pequeno}$$

$$F_{12}^e < F_{12}^S < F_{12}^O \quad \text{acoplamento de massa grande}$$

A fórmula de Sawodny foi adaptada para moléculas com acoplamentos de massa grande por Thakur e Rai na forma

$$F_{12}^C = F_{12}^S \times |G_{12} / (G_{11}G_{22} + G_{12}^2)^{1/2}|$$

Os resultados dos cálculos apresentados na Tabela 2 mostram as seguintes correlações:

$$F_{12}^C < F_{12}^S < F_{12}^O$$

$$F_{12}^C < F_{12}^e \quad \text{para os hidretos}$$

$$F_{12}^C \approx F_{12}^e \quad \text{para os halogênios e óxidos}$$

$$\sigma^C = 0.53$$

O intervalo de valores de F_{12} para $G_{12} < 0$ é calculado por

$$F_{12}^{\leq} = -G_{12} A/D \pm \left[(G_{12} A/D)^2 - 4G_{11}G_{22} B/D^2 + A^2/D \right]^{1/2}$$

As posições de F_{12}^O , F_{12}^S e F_{12}^C no intervalo é dado por

$$F_{12}^{\leq} < F_{12}^C < F_{12}^S < F_{12}^O < F_{12}^{\geq}$$

conforme se observa na Tabela 2. Se relacionarmos esta correlação com as considerações anteriores, observamos que F_{12}^e desloca-se de $\sim F_{12}^O$ para acoplamentos de massa pequenos para $\sim F_{12}^C$ para acoplamentos de massa grandes. Uma outra observação é que F_{12}^{\leq} é geralmente negativa e F_{12}^{\geq} positiva, mas para acoplamentos de massa crescentes F_{12}^{\leq} aumenta mostrando valores positivos em alguns casos.

III-3. Método de Becher-Mattes

Na Tabela 2 apresentamos constantes de força calculadas segundo o método de Becher-Mattes para os dois casos limites $m = 1$ e $m_0 = \infty$. Obtivemos $\sigma_1^{BM} = 0.31$ e $\sigma_\infty^{BM} = 0.26$. Comparando com outros valores calculados de σ observamos a seguinte correlação

$$\sigma_\infty^{BM} < \sigma_1^{BM} < \sigma^C < \sigma^S < \sigma^O$$

Dentre os vários métodos, o melhor método é portanto o de Becher-Mattes com $m_0 = \infty$. A restrição que podemos fazer a este método é que F_{12} tende a zero muito rapidamente quando G_{12} tende a zero. Esta propriedade torna o método, inaplicável aos hidretos.

Das observações acima concluimos que há pelo menos dois grupos de métodos matemáticos para o cálculo de constantes de força. Os métodos de Sawodny e centro-elipse são boas aproximações a F_{12}^e para acoplamentos de massa pequenos. Os métodos de Thakur-Rai e Becher-Mattes são boas aproximações a F_{12} para acoplamentos de massa grandes. Como o método de Becher-Mattes com $m_0 = 1$ é aproximadamente equivalente ao método de Fadini podemos incluir o método de

Fudini no último grupo.

Os resultados acima discutidos sugerem que não há métodos matemáticos que permitam boas aproximações aos campos de força simultaneamente para todo range de valores de acoplamentos de massa. Isto introduz uma complicação adicional ao desenvolvimento de métodos matemáticos para o cálculo de campos de força. É necessário investigar os intervalos de valores de acoplamentos de massa onde os métodos matemáticos sejam adequados. Estas considerações tornam razoável uma mudança de ponto de vista: em lugar de investigar condições de contorno matemáticas, investigar a possibilidade de estabelecer alguma correlação empírica entre F_{12} e um parâmetro que descreva quantitativamente o acoplamento de massa.

IV. UMA RELAÇÃO EMPÍRICA ENTRE F_{12} E g

IV-1. Definições

Para o estudo de uma correlação empírica que descreva apropriadamente as observações do Capítulo anterior, é conveniente estabelecer uma maneira de mostrar a posição de F_{12} no intervalo $[F_{12}^<, F_{12}^>]$. Seja \bar{F}_{12} definida por

$$\bar{F}_{12} = \frac{F_{12} - F_{12}^<}{F_{12}^> - F_{12}^<}$$

Esta relação dá a posição relativa de F_{12} no intervalo $[F_{12}^<, F_{12}^>]$, tomando como referência $F_{12}^<$. Para $\bar{F}_{12} = 1/2$, temos $F_{12} = F_{12}^0$, isto é, $\bar{F}_{12} = 1/2$ descreve o centro da elipse de constantes de força F_{11}/F_{12} . Para $\bar{F}_{12} = 0$ teremos $F_{12} = F_{12}^<$. No Capítulo anterior vimos que F_{12} vai de $\sim F_{12}^0$ para acoplamentos de massa pequenos a $\sim F_{12}^C$ para acoplamentos de massa grandes. Isto é, F_{12} se aproxima de $F_{12}^<$ com o aumento do acoplamento de massa. Esta observação indica que \bar{F}_{12} decresce com o aumento do acoplamento de massa.

A escolha de um parâmetro adequado para a descrição apropriada do efeito de acoplamento de massa é complexo. O elemento da matriz G , G_{12} não é adequado, porque não traduz de maneira adequada todas informações a respeito da magnitude do acoplamento de massa. Por exemplo, G_{12} é igual para todas moléculas CH_4 , CD_4 e CT_4 , embora o acoplamento de massa cresça respectivamente do CH_4 para o CT_4 . Seguindo o procedimento usado acima na definição do valor relativo de F_{12} , \bar{F}_{12} , propomos uma espécie de valor relativo de G_{12} . Definimos

$$g = \left[(|G| - |G^0|) / |G| \right]^{1/2}$$

onde G^0 é a matriz diagonal cujos elementos são $G_{ii}^0 = G_{ii}$. O parâmetro g , é uma espécie de valor relativo de G_{12} , onde G_{12} está comparado com a origem do eixo G_{12} . A diferença $|G| - |G^0|$ aumenta com o aumento de G_{12} . O quociente $|G|$ é o fator de normalização. Desenvolvendo a fórmula acima definida de g obtemos

$$g = |G_{12}|/D^{1/2}$$

O parâmetro g , sendo um valor relativo de G_{12} , descreve provavelmente a magnitude do acoplamento de massa. Olhando para a Tabela 3, podemos ver que $g \approx 0$ para os hidretos e aumenta para os halogénios e óxidos. Da fórmula qualitativa do acoplamento de massa

$$\frac{M_y}{M_x}$$

observamos que o acoplamento de massa aumenta do CF_4 para o CCl_4 , do OF_2 para o Cl_2 , do SiF_4 para o CF_4 . Na Tabela 3, vemos que $g(CF_4) < g(CCl_4)$, $g(OF_2) < g(Cl_2)$ e $g(SiF_4) < g(CF_4)$, estando de acordo com a suposição acima de que g descreve a magnitude do acoplamento de massa. O parâmetro g é também bom para a descrição de moléculas com o mesmo G_{12} . Por exemplo, CH_4 , CD_4 e CT_4 tem os mesmos valores de G_{12} . Contudo $g(CH_4) < g(CD_4) < g(CT_4)$, o que é também prevista pela relação $\frac{M_y}{M_x}$.

A relação entre \overline{F}_{12} e g que se revelou adequada para a descrição empírica de F_{12}^e , é da forma⁵⁰

$$\overline{F}_{12} = \exp(-f)$$

onde f é uma função polinomial de g . A seguir iremos relacionar \overline{F}_{12}^e e g , calculando a ordem e os coeficientes do polinomio f .

IV-2. Verificação da Relação Empírica

Na secção anterior propomos a relação

$$\overline{F}_{12} = \exp(-f)$$

para descrever a dependência entre \overline{F}_{12} e g . Considerando os valores experimentais F_{12}^e , podemos calcular os valores experimentais de f segundo a expressão

$$f^e = \ln \left\{ \frac{\frac{F_{12}^e - F_{12}^<}{F_{12}^e}}{\frac{F_{12}^> - F_{12}^e}{F_{12}^>}} \right\}$$

Os valores experimentais de f^e apresentados na Tabela 3, foram ajustados por polinômios de vários graus pelo método de mínimos quadrados. O melhor polinômio foi o de grau dois, dando uma fórmula empírica

$$f^g = 0.5583 + 1.9888 g - 0.1687 g^2$$

Na Figura 1, os pontos representam os valores experimentais f^e , e a linha sólida a curva empírica f^g . Os valores experimentais de f estão dispersos em torno da curva sólida. Esta dispersão provavelmente pode ser atribuída em alguns casos a incertezas nos valores de F_{12}^e , porque mesmo quando se usa dados extra, algumas vezes não é possível obter valores precisos de F_{12}^e . Contudo, não está descartada a possibilidade de que f dependa da estrutura molecular.

Usando a definição de $\overline{F_{12}}$ e a fórmula empírica f^g , podemos calcular F_{12} empíricamente por

$$F_{12}^g = F_{12}^{\leq} + (F_{12}^{\geq} - F_{12}^{\leq}) / \exp(0.5583 + 0.19888g - 0.1687g^2)$$

Esta fórmula dá $\sigma^g = 0.19$. Das Tabelas 2 e 3 vemos que F_{12}^g dá bons resultados para todos grupos de moléculas em consideração. Comparando os σ dos vários métodos de cálculo de campos de força aqui considerados, temos

$$\sigma^g < \sigma_{\infty}^{BM} < \sigma_1^{BM} < \sigma^C < \sigma^S \ll \sigma^0$$

O melhor método de cálculo de campos de força é portanto o método empírico representado por F_{12}^g .

V. APLICAÇÕES A $n = 3$

V-1. Métodos de Acoplamentos por Passos

(a) Descrição dos Métodos

Os vários métodos de acoplamentos por passos que consideraremos nesta secção são derivados do método de Becher-Mattes. Designa-se por método I, o método de Becher-Mattes em que a função $f(m/m_0)$ é definida como sendo linear. Neste caso

$$G_{ij}^m = G_{ij} \delta_{ij} + (m/m_0) (G_{ij} - G_{ij} \delta_{ij})$$

onde δ_{ij} é uma função delta de Kronecker. A matriz F^{m_0} pertence ao conjunto de soluções do problema de autovalores inverso.

Observamos no caso $n = 2$, que o método Becher-Mattes apresenta melhores resultados quando $m_0 = \infty$. Contudo no caso $n = 3$, trabalhar com m_0 muito grandes é bastante difícil por problemas de tempo de processamento e precisão de cálculo. Introduzimos então uma modificação ao método de Becher-Mattes com o objetivo de tentarmos aumentar a velocidade de convergência. No método II o conjunto inicial é definido por

$$\begin{aligned} F_{ii}^0 &= \lambda_i / G_{ii}^{\text{diag}} \\ F_{ij}^0 &= 0 \quad (i \neq j) \end{aligned}$$

onde G_{ii}^{diag} é um elemento da matriz G diagonalizada. A matriz G^m é definida por

$$G_{ij}^m = G_{ij}^{\text{diag}} + (m/m_0) (G_{ij} - G_{ij}^{\text{diag}})$$

O método II é mais complexo porque é necessário um cálculo adicional da matriz G^{diag} .

A aproximação bidimensional é uma aproximação que torna possível a aplicação de métodos de cálculo de campos de força desenvolvidos para $n = 2$ em problemas em que $n > 2$. Para o estudo da aproximação bidimensional, dois métodos III e IV foram desenvolvidos. Em ambos os casos F_{ij} ($i \neq j$) é calculado usando a expressão

$$F_{ij} = -\frac{\lambda_i + \lambda_j}{2} \frac{G_{ij}}{D_{ij}} + \frac{\lambda_i - \lambda_j}{2} \sin(2\chi m_0) \frac{\sqrt{G_{ii} G_{jj}}}{D_{ij}}$$

No método III, $m_0 = 0$ e χ_1 é calculado segundo a fórmula

$$\operatorname{tg} 2\chi_1 = \frac{Sr}{\sqrt{1+r^2}}$$

onde $r = G_{ij} / \sqrt{G_{ii}G_{jj}}$ e $S = (\lambda_i + \lambda_j) / (\lambda_i - \lambda_j)$.

No método IV, $m_o = \infty$ e χ_∞ é calculado segundo a fórmula

$$\operatorname{tg} 2\chi_\infty = \frac{(1+r)^S - (1-r)^S}{2(1-r^2)^{S/2}}$$

Os elementos F_{ii} da diagonal de F podem ser calculados facilmente usando o método de mínimos quadrados descrito no Capítulo II, secção 3.

(b) Resultados e Discussões

Neste estudo calculamos os campos de força das moléculas $YC(H,D)_3$ ($Y = F, Cl, Br, I$). A análise em coordenadas normais destas moléculas foi feita no Capítulo I - secção 3. Elas tem simetria C_{3v} e portanto apresentam três fundamentais de espécie A_1 e três fundamentais de espécie E . Há portanto dois problemas de autovalores inverso a serem considerados por cada molécula. Os dados geométricos são apresentados na Tabela 4 e foram obtidos nas referências 51 e 52. As fundamentais são apresentadas na Tabela 5 e foram obtidas nas referências 39 e 40.

Na Tabela 6, apresentamos os campos de força calculados usando o método I com $m_o = 1, 10$ e 100 . Há pequenas variações para diferentes valores de m_o , mas é possível ver uma lenta convergência dos campos de força calculados no sentido de m_o crescentes. Os valores numéricos das constantes de força são todos aceitáveis, no sentido de que esta observação seja aplicada principalmente aos elementos da matriz F . Em vista de pequenas variações das constantes de força entre $m_o = 1$ e $m_o = 100$ adotamos $m_o = 1$ afim de compararmos os métodos I e II.

Na Tabela 7, apresentamos os campos de força calculados segundo os modelos II com $m_o = 1$, com aqueles calculados usando os métodos III e IV. Comparando os dados das Tabelas 6 e 7, observamos que os valores das constantes de força do método II são próximos daqueles calculados usando o método I com $m_o = 100$. Isto é, o primeiro passo do método II é próximo ao passo $m_o = 100$ do método I. Isto nos dá uma indicação de que o método II poderia estar convergindo mais rapidamente. Infelizmente os campos de força das moléculas presentes não são muito sensíveis a m_o e aos métodos. Assim, não podemos a-

firmar que ambos os métodos I e II convergem para o mesmo conjunto.

Comparando os campos de força calculados usando o método I ($m_0 = 1$) com o método III e o método I ($m_0 = 100$) com o método IV, vemos que a aproximação bidimensional introduz somente pequenos erros nos elementos da matriz F fora da diagonal. O erro mais visível é aquele $F_{12}(I) < 0$ e $F_{12}(III) > 0$, o que não é tão importante em vista dos grandes erros envolvidos na determinação experimental de F_{12} . Mas a magnitude dos erros são tão pequenos, que é possível dizer que a aproximação bidimensional é aplicável às moléculas em questão com graus aceitáveis de precisão.

4-2. Aproximações de Sawodny e Thakur-Rai

Vimos na secção anterior, que a aproximação bidimensional introduz erros desprezíveis no cálculo da matriz F , nas moléculas $YC(H,D)_3$ ($Y = F, Cl, Br, I$). Nesta secção, aplicaremos os métodos de Sawodny e Thakur-Rai, usando a aproximação bidimensional, ao cálculo dos campos de força destas moléculas. Estes métodos são designados respectivamente por F_{ij}^S e F_{ij}^C , e são calculados por

$$F_{ij}^S = -\lambda_k G_{ij}/D_{ij}$$

$$F_{ij}^C = F_{ij}^S \times \left| G_{ij} / (G_{ii}G_{jj} + G_{ij}^2)^{1/2} \right|$$

Neste trabalho consideramos como λ_k , o menor dos dois λ_i e λ_j . Para o cálculo dos elementos da diagonal de F , empregamos o método de mínimos quadrados descrito no Capítulo II - secção 2. Para efeito de comparação, calculamos também os intervalos $[F_{ij}^{\leq}, F_{ij}^{\geq}]$ de todos os elementos fora da diagonal de F .

Os campos de força calculados usando os métodos de Sawodny e Thakur-Rai são apresentados na Tabela 8, juntamente com F_{ij}^{\leq} e F_{ij}^{\geq} . Observamos que F_{23} está fora do intervalo $[F_{23}^{\leq}, F_{23}^{\geq}]$ e o método acima descrito, não converge na molécula FCD_3 . Em outras moléculas, todos F_{ij} estão contidos no intervalo $[F_{ij}^{\leq}, F_{ij}^{\geq}]$. Estas observações mostram que $[F_{ij}^{\leq}, F_{ij}^{\geq}]$ representa aproximadamente o intervalo dos valores permitidos de F_{ij} . Portanto, o citado intervalo pode nos ser útil quando desejamos testar métodos de fixação de F_{ij} .

Observamos que os F_{12} calculados experimentalmente ..

tem o sinal oposto ao calculado segundo os dois métodos em questão. As constantes F_{12} e F_{13} são relativamente insensíveis aos dados extra obtidos a partir da substituição isotópica e constantes de Coriolis, de modo que nos cálculos apresentados na literatura foram fixados arbitrariamente. Isto é, as discrepâncias em F_{12} e F_{13} provavelmente não são testes cruciais dos métodos.

Para o cálculo dos elementos da diagonal de F , ambos os métodos dão resultados aceitáveis. O método de Sawodny é ligeiramente melhor para o FCH_3 e o método de Thakur-Rai é ligeiramente melhor para o ICH_3 . Esta observação concorda com os dados da literatura que indicam que o método de Sawodny é melhor para acoplamentos de massa pequenos e o método de Thakur-Rai é melhor para acoplamentos de massa grandes. (Vide g_{ij} na Tabela 9.)

Comparando os métodos de acoplamentos por passos e os de Sawodny e Thakur-Rai, nas Tabelas 6, 7 e 8, vemos que os métodos de Sawodny e Thakur-Rai são melhores. Esta observação pode ser explicada pelo fato de que os acoplamentos de massa nas presentes moléculas são muito pequenos. Assim, nos métodos de acoplamento por passos $F_{ij} \rightarrow 0$ muito rapidamente, enquanto que nos métodos de Sawodny e Thakur-Rai $F_{ij} \rightarrow 0$ mais lentamente.

V-3. Aproximação Empírica

Na aproximação bidimensional, podemos relacionar F_{ij} a g_{ij} empregando a fórmula que ajustamos empiricamente no Capítulo IV, substituindo (1,2) por (i,j). Neste caso

$$F_{ij}^g = F_{ij}^< + (F_{ij}^> - F_{ij}^<) / \exp(0.5583 + 1.9888 g_{ij} - 0.1687 g_{ij}^2)$$

onde $g_{ij} = |G_{ij}| / D_{ij}^{1/2}$

Na Tabela 10, apresentamos as constantes de força das moléculas $YC(H,D)_3$ ($Y = F, Cl, Br, I$) calculadas usando a aproximação acima para fixar F_{ij} . Observamos que F_{12}^g é positivo, como nos F_{12} calculados segundo os métodos de Sawodny e Thakur-Rai. Em relação aos elementos da diagonal o método empírico apresenta os melhores resultados.

Dentre os métodos que aplicamos ao cálculo dos campos de força das moléculas $YC(H,D)_3$, podemos dizer que o método empírico é o melhor. O método de acoplamento por passos não se revelou conveniente porque subestima a contribuição de elementos fora da dia-

gonal de F para acoplamentos de massa pequenos. Quanto ao método de Sawodny, ele superestima a contribuição de elementos fora da diagonal de F para acoplamentos de massa grandes. No método de Thakur-Rai uma escolha padronizada de λ_k , como vimos na seção anterior, pode levar ao cálculo de F_{ij} fora do intervalo de variação permitida. O método empírico, tem a vantagem de estar sempre no intervalo de variação permitida, ao mesmo tempo que os acoplamentos de massa são considerados em proporções aproximadas.

CONCLUSÃO

Neste trabalho discutimos o estabelecimento de uma correlação empírica entre a constante de força paramétrica F_{12} , do problema inverso de autovalores de $n = 2$, e o parâmetro de acoplamento de massa g . Esta correlação nos permite inferir esquematicamente alguns resultados. Quando $g \sim 0$

$$F_{12}^g \sim F_{12}^{\leq} + (F_{12}^{\geq} - F_{12}^{\leq}) e^{-0.5583}$$

isto é, $F_{12} \sim 0$. Quando g é muito grande, por exemplo em moléculas XY_n onde $M_x \ll M_y$, $F_{12} \sim F_{12}^{\leq}$, e em geral não pode ser desprezado porque $F_{12}^{\leq} > 0$. Nossa estudo foi feito para o caso em que $G_{12} < 0$. Os resultados do presente estudo podem ser facilmente generalizados a qualquer sinal de G_{12} , se redefinirmos F_{12}^{\leq} e F_{12}^{\geq} nas formas

$$F_{12}^{\leq} = \min (-\text{sinal } G_{12} \times F_{12}^1, -\text{sinal } G_{12} \times F_{12}^2)$$

$$F_{12}^{\geq} = \max (-\text{sinal } G_{12} \times F_{12}^1, -\text{sinal } G_{12} \times F_{12}^2)$$

onde F_{12}^{\leq} é o extremo mais próximo em sinal de G_{12} e F_{12}^{\geq} o mais distante. Comparando os F_{12} calculados empregando a correlação empírica com aqueles F_{12} calculados empregando os métodos matemáticos como o do centro elipse, de Sawodny, de Thakur-Rai e de Becher-Mattes, observamos que no presente estágio, o método da correlação empírica é o mais adequado ao cálculo das constantes de força.

Mostramos que a aproximação bidimensional é aplicável às moléculas YC(H,D)₃ onde $n = 3$ através do método de Becher-Mattes. Com isto pudemos comparar os métodos de Becher-Mattes, de Sawodny, de Thakur-Rai e o da correlação empírica ao cálculo do problema de autovalores inverso de $n = 3$. Observamos também, que neste caso o método empírico é o melhor.

Como elementos para futuros desenvolvimentos, sugerimos os seguintes ítems:

- (i) Recalcular a expressão empírica de $f(g)$, incluindo o maior número possível de dados presentes na literatura, e levando em consideração os erros em F_{12}^e no ajuste de mínimos quadrados de $f(g)$. Em muitos casos os campos de força estão calculados com grande imprecisão, o que sugere a necessidade de recalculá-los a fim de aumentar a estatística.

- (ii) A aproximação bidimensional foi estudada em moléculas onde $n = 3$ e g_{ij} pequenos. Sugerimos efetuar o mesmo estudo em moléculas onde $n = 3$ e g_{ij} grandes. Por exemplo, nas moléculas $(H,D)XY_3$, onde $X = C, Si, Ge$ e $Y = F, Cl, Br, I$.
- (iii) Sugerimos estudar a aplicabilidade da aproximação bidimensional em moléculas onde $n > 3$. Por exemplo, nas moléculas $(H,D)_2XY_2$, onde $X = C, Si, Ge$ e $Y = F, Cl, Br, I$.

Uma vez completados estes estudos, com os aperfeiçoamentos que se fizerem necessários, poderemos efetuar o cálculo de campos de força moleculares com razoável precisão, usando somente as n fundamentais e as correlações empíricas. Com isto, o uso de constantes de força na investigação das estruturas eletrônicas das moléculas poderá ser feita com maior segurança.

TABELA I. Frequências observadas em cm^{-1} e elementos da matriz G em $(\text{amu})^{-1}$.

Molécula	ω_1	ω_2	G_{11}	$-G_{12}$	G_{22}	Ref.
H_2^0	3852.2	1648.5	1.0390530	0.0855632	2.1408453	53
D_2^0	2763.8	1206.4	0.5433175	0.0855632	1.1493731	53
H_2^S	2721.9	1214.5	1.0222262	0.0440735	2.0492412	53
D_2^S	1906.0	898.0	0.5264901	0.0440735	1.0577691	53
$^{15}\text{NO}_2$	1343.5	747.1	0.0826495	0.0675331	0.3513750	42
$^{14}\text{NO}_2$	1357.8	756.8	0.0840840	0.0723416	0.3674930	42
SO_2	1151.2	517.8	0.0783167	0.0583752	0.2181266	55
OF_2	928.0	461.0	0.1009013	0.0860680	0.2587508	54
$^{16}\text{OC}\ell_2$	630.7	296.4	0.0685250	0.0826540	0.2258550	55
$^{18}\text{OC}\ell_2$	605.6	294.9	0.0640354	0.0734503	0.2069872	55
SO_3	1391.0	529.0	0.1092838	0.0810278	0.3278513	56
$^{10}\text{BO}_3^{2-}$	1330.0	606.2	0.2123085	0.2594719	0.6369255	57
$^{11}\text{BO}_3^{2-}$	1284.5	603.8	0.1987507	0.2359890	0.5962520	57
$^{10}\text{BF}_3$	1431.9	485.5	0.2024422	0.2594719	0.6073265	57
$^{11}\text{BF}_3$	1423.8	483.7	0.1888843	0.2359890	0.5666530	57
$^{10}\text{BC}\ell_3$	993.7	243.0	0.1780125	0.2594719	0.5340375	57
$^{11}\text{BC}\ell_3$	954.2	243.0	0.1644542	0.2359890	0.4933640	57
$^{10}\text{BBr}_3$	856.0	155.1	0.1623212	0.2594719	0.4869635	57
$^{11}\text{BBr}_3$	819.2	155.1	0.1437633	0.2359890	0.4462900	57
$^{10}\text{BI}_3$	734.0	100.0	0.1576861	0.2594719	0.4730583	57
$^{11}\text{BI}_3$	704.0	100.0	0.1441283	0.2359890	0.4323848	57
$^{16}\text{O}_4$	973.5	339.0	0.0695125	0.0140203	0.1530453	58
CH_4	3158.0	1357.0	1.1032437	0.2220159	2.4285034	59
CD_4	2337.0	1026.0	0.6075076	0.2220159	1.4370312	59
CT_4	1994.0	880.0	0.4421338	0.2220159	1.1062835	59
SiH_4	2312.0	940.0	1.0395298	0.0949329	2.1739931	59
SiD_4	1673.0	690.0	0.5439998	0.0949329	1.1829138	59

TABELA 1. Continuação

Molécula	ω_1	ω_2	G_{11}	$-G_{12}$	G_{22}	Ref.
$^{12}\text{CF}_4$	1311.9	631.3	0.1637471	0.2222222	0.5497165	60
$^{13}\text{CF}_4$	1272.5	623.8	0.1551737	0.2050754	0.5154227	60
CCl_4	790.6	309.7	0.1392143	0.2220159	0.5004446	61
$^{28}\text{SiF}_4$	1031.8	389.5	0.1002943	0.0953166	0.2959053	62
$^{30}\text{SiF}_4$	1014.4	386.3	0.0971194	0.0889667	0.2832054	62
$\text{Si}^{37}\text{Cl}_4$	610.8	221.5	0.0745252	0.0949465	0.2439969	63
$\text{Si}^{35}\text{Cl}_4$	616.5	221.5	0.0760701	0.0949465	0.2470867	63
GeF_4	821.7	270.5	0.0710040	0.0367360	0.1787440	64
NH_3 (E)	3592.0	1690.0	1.0848611	0.1258637	2.5754491	61
ND_3 (E)	2643.2	1226.7	0.5891250	0.1258637	1.3741646	61
PH_3 (E)	2457.0	1154.0	1.0261965	0.0361462	2.0826569	61
PD_3 (E)	1766.0	822.0	0.5306569	0.0361462	1.0614825	61
PCl_3 (E)	482.0	198.0	0.0661535	0.0453039	0.1164979	65
NH_3 (A)	3504.0	1031.0	1.0211684	0.0786300	1.3582681	59
ND_3 (A)	2496.4	785.7	0.5254323	0.0786300	0.7864207	59
PH_3 (A)	2452.0	1041.0	1.0206509	0.0605472	1.9918604	59
PD_3 (A)	1761.0	756.0	0.5251114	0.0605475	1.0609741	59
PCl_3 (A)	504.0	252.0	0.0491682	0.0500512	0.1639251	61
$^{35}\text{Cl CN}$	744.2	2215.6	0.1118529	0.0832559	0.1546504	66
$^{37}\text{Cl CN}$	735.6	2215.4	0.1103079	0.0832559	0.1546504	66
$^{79}\text{Br CN}$	586.6	2198.3	0.0959273	0.0832559	0.1546504	66
$^{81}\text{Br CN}$	584.9	2198.3	0.0956144	0.0832559	0.1546504	66

TABELA 2. Valores Calculados de F_{12} em mdina/ \AA .

Molécula	F_{12}^e	F_{12}^o	$F_{12}^<$	$F_{12}^>$	F_{12}^s	F_{12}^c	$F_{12}(m_o = 1)$	$F_{12}(m_o = \infty)$
H_2^0	0.338	0.198	-2.172	2.568	0.062	0.004	0.000	0.000
D_2^0	0.338	0.571	-1.960	2.702	0.119	0.013	0.002	0.003
H_2S	0.087	0.055	-1.153	1.263	0.018	0.001	0.000	0.000
D_2S	0.087	0.104	-1.015	1.223	0.038	0.002	0.000	0.000
$^{14}N_2O_2$	0.513	2.005	-0.557	4.567	0.950	0.362	0.259	0.336
$^{15}N_2O_2$	0.513	1.919	-0.635	4.473	0.907	0.334	0.230	0.301
SO_2	0.271	1.153	-1.455	3.759	0.388	0.109	0.041	0.053
OF_2	0.194	1.455	-0.195	3.105	0.576	0.271	0.210	0.264
$^{16}OC_2$	0.220	1.567	0.054	2.680	0.495	0.274	0.251	0.300
$^{18}OC_2$	0.220	1.248	0.042	2.455	0.478	0.257	0.234	0.280
SC_3	0.358	1.805	-1.346	4.957	0.456	0.180	0.085	0.118
$^{10}B_3O_3^{2-}$	0.616	2.403	0.169	4.638	0.827	0.477	0.456	0.537
$^{11}B_3O_3^{2-}$	0.616	2.228	0.154	4.302	0.806	0.456	0.453	0.511
$^{10}BF_3$	0.319	3.539	-0.298	6.977	0.647	0.385	0.350	0.405
$^{11}BF_3$	0.319	3.079	-0.312	6.469	0.633	0.370	0.331	0.383
$^{10}BC_2$	0.138	2.882	-0.156	5.919	0.325	0.209	0.204	0.242
$^{11}BC_2$	0.138	2.647	-0.159	5.453	0.322	0.206	0.196	0.254
$^{10}BBr_3$	0.103	4.933	-0.072	9.938	0.314	0.213	0.240	0.271
$^{11}BBr_3$	0.103	4.513	-0.073	9.099	0.312	0.211	0.235	0.266
$^{10}BI_3$	-0.021	5.766	-0.082	11.615	0.210	0.145	0.173	0.191
$^{11}BI_3$	-0.021	5.299	-0.085	10.684	0.210	0.144	0.170	0.189
$0s^{16}O_4$	0.012	0.420	-2.002	2.842	0.091	0.012	0.002	0.002
CH_4	0.206	0.294	-1.196	1.783	0.092	0.012	0.002	0.003
CD_4	0.206	0.517	-0.955	1.989	0.167	0.039	0.011	0.016
CT_4	0.206	0.706	-0.793	2.205	0.230	0.070	0.028	0.039
SiH_4	0.025	0.077	-0.800	0.955	0.022	0.001	0.000	0.000
SiD_4	0.025	0.144	-0.720	1.009	0.042	0.005	0.001	0.001

TABELA 2. Continuação

Molécula	F_{12}^e	F_{12}^o	$F_{12}^<$	$F_{12}^>$	F_{12}^s	F_{12}^c	F_{12} ($m_o = 1$)	F_{12} ($m_o = \infty$)
$^{12}\text{CF}_4$	0.827	3.413	0.538	6.287	1.283	0.764	0.797	0.911
$^{15}\text{CF}_4$	0.827	3.207	0.520	5.894	1.259	0.739	0.770	0.880
CCl_4	0.520	2.312	0.295	4.330	0.615	0.396	0.433	0.488
$^{28}\text{SiF}_4$	0.194	1.657	-0.591	3.906	0.413	0.200	0.127	0.167
$^{30}\text{SiF}_4$	0.194	1.575	-0.617	3.768	0.399	0.189	0.116	0.154
$\text{Si}^{37}\text{Cl}_4$	0.190	1.287	-0.117	2.690	0.299	0.172	0.144	0.177
$\text{Si}^{35}\text{Cl}_4$	0.190	1.226	-0.140	2.592	0.280	0.159	0.130	0.161
GeF_4	0.283	0.714	-1.047	2.474	0.140	0.043	0.014	0.020
$\text{NH}_3(E)$	0.174	0.210	-1.569	1.990	0.076	0.006	0.001	0.001
$\text{ND}_3(E)$	0.174	0.396	-1.433	2.226	0.140	0.019	0.004	0.005
$\text{PH}_3(E)$	0.040	0.037	-0.911	0.985	0.015	0.000	0.000	0.000
$\text{PD}_3(E)$	0.040	0.072	-0.889	1.032	0.026	0.001	0.000	0.000
$\text{PCl}_3(E)$	0.077	0.640	-0.242	1.523	0.185	0.085	0.053	0.073
$\text{NH}_3(A_1)$	0.780	0.224	-2.592	3.039	0.036	0.002	0.000	0.000
$\text{ND}_3(A_1)$	0.780	0.390	-2.221	3.000	0.070	0.009	0.001	0.001
$\text{PH}_3(A_1)$	0.200	0.062	-0.957	1.082	0.019	0.001	0.000	0.000
$\text{PD}_3(A_1)$	0.200	0.118	-0.886	1.123	0.037	0.003	0.000	0.000
$\text{PCl}_3(A_1)$	0.171	0.842	-0.064	1.749	0.337	0.164	0.134	0.166
$^{35}\text{Cl CN}$	0.437	12.915	-3.350	29.180	2.619	1.401	0.984	1.269
$^{37}\text{Cl CN}$	0.437	13.187	-3.392	29.765	2.619	1.408	0.993	1.279
$^{79}\text{Br CN}$	0.363	16.052	-4.309	36.414	2.134	1.204	0.862	1.111
$^{81}\text{Br CN}$	0.363	16.145	-4.318	36.608	2.135	1.206	0.865	1.114

TABELA 5. Valores de g , f^e , f^g , F_{12}^e e F_{12}^g

Molécula	g	f^e	f^g	F_{12}^e (mdina/ \AA)	F_{12}^g (mdina/ \AA)
H_2O	0.0575	0.6556	0.6720	0.338	0.248
D_2O	0.1089	0.7075	0.7729	0.338	0.192
H_2S	0.0305	0.6671	0.6187	0.087	0.148
D_2S	0.0592	0.7083	0.6754	0.087	0.124
$^{14}\text{N}\text{O}_2$	0.4515	1.5660	1.4220	0.513	0.679
$^{15}\text{N}\text{O}_2$	0.4316	1.4925	1.3853	0.513	0.643
SO_2	0.3071	1.1064	1.1532	0.271	0.192
OF_2	0.6294	2.1375	1.7432	0.194	0.382
$^{16}\text{OC}\ell_2$	0.8890	2.7605	2.1930	0.220	0.347
$^{18}\text{OC}\ell_2$	0.8285	2.6054	2.0903	0.220	0.340
SO_3	0.4737	1.3079	1.4625	0.358	0.114
$^{10}\text{B}\text{O}_3^{2-}$	0.9958	2.3023	2.3715	0.616	0.586
$^{11}\text{B}\text{O}_3^{2-}$	0.9416	2.1953	2.2814	0.616	0.578
$^{10}\text{BF}_3$	1.1002	2.4666	2.5422	0.319	0.274
$^{11}\text{BF}_3$	1.0415	2.3751	2.4467	0.319	0.275
$^{10}\text{BC}\ell_3$	1.5579	3.0280	3.2473	0.138	0.080
$^{11}\text{BC}\ell_3$	1.4794	2.9395	3.1314	0.138	0.086
$^{10}\text{BBr}_3$	2.3969	4.0449	4.3563	0.103	0.056
$^{11}\text{BBr}_3$	2.2815	3.9507	4.2176	0.103	0.062
$^{10}\text{BI}_3$	3.0434	5.2546	5.0488	-0.021	-0.007
$^{11}\text{BI}_3$	2.8987	5.1294	4.9061	-0.021	-0.005
$0s^{16}\text{O}_4$	0.1372	0.8777	0.8280	0.012	0.115
CH_4	0.1369	0.7537	0.8274	0.206	0.106
CD_4	0.2446	0.9303	1.0347	0.206	0.091
CT_4	0.3348	1.0990	1.2052	0.206	0.105
SiH_4	0.0633	0.7547	0.6835	0.025	0.086
SiD_4	0.1192	0.8416	0.7929	0.025	0.062

TABELA 5. Continuação

Molécula	g	f^e	f^g	F_{12}^e (mdina/Å)	F_{12}^g (mdina/Å)
$^{12}\text{CF}_4$	1.1024	2.9898	2.5459	0.827	0.989
$^{13}\text{CF}_4$	1.0531	2.8635	2.4656	0.827	0.977
CCl_4	1.5553	2.8854	3.2435	0.520	0.452
$^{28}\text{SiF}_4$	0.6642	1.7449	1.8049	0.194	0.148
$^{30}\text{SiF}_4$	0.6356	1.6872	1.7543	0.194	0.141
$\text{Si}^{37}\text{Cl}_4$	0.9916	2.2140	2.3645	0.190	0.147
$\text{Si}^{35}\text{Cl}_4$	0.9600	2.1134	2.3122	0.190	0.130
GeF_4	0.3449	0.9736	1.2243	0.283	0.012
NH_3 (E)	0.0755	0.7137	0.7075	0.174	0.185
ND_3 (E)	0.1413	0.8228	0.8359	0.174	0.153
PH_3 (E)	0.0247	0.6897	0.6074	0.040	0.122
PD_3 (E)	0.0482	0.7269	0.6538	0.040	0.110
PCl_3 (E)	0.6025	1.7102	1.6953	0.077	0.082
NH_3 (A_1)	0.0669	0.5128	0.6906	0.780	0.251
ND_3 (A_1)	0.1232	0.5537	0.8009	0.780	0.123
PH_3 (A_1)	0.0425	0.5665	0.6425	0.200	0.115
PD_3 (A_1)	0.0814	0.6149	0.7191	0.200	0.098
PCl_3 (A_1)	0.6716	2.0422	1.8178	0.171	0.250
^{35}Cl CN	0.8177	2.1505	2.0718	0.437	0.747
^{37}Cl CN	0.8273	2.1587	2.0882	0.437	0.717
^{79}Br CN	0.9365	2.1651	2.2729	0.363	-0.114
^{81}Br CN	0.9394	2.1683	2.2777	0.363	-0.122

TABELA 4. Dados Geométricos das Moléculas $YC(H,D)_3$ ($Y = F, Cl, Br, I$)

Moléculas	$R(CH)$ Å	$R(CY)$ Å	$\alpha = W \hat{X} W$ grau	$\beta = Z \hat{X} W$ grau
FCH_3	1.109	1.388	110.33	108.64
$ClCH_3$	1.110	1.784	110.00	108.98
$BrCH_3$	1.110	1.939	111.20	107.72
ICl_3	1.110	2.139	111.40	107.51

TABELA 5. Frequências das Moléculas $YC(H,D)_3$ ($Y = F, Cl, Br, I$) em cm^{-1} .

Moléculas	ν_1	ν_2	ν_3	ν_4	ν_5	ν_6
FCH_3	3005	1500	1067	3165	1510	1212
FCD_3	2185	1160	1005	2350	1095	920
$ClCH_3$	3062	1398	733	3209	1510	1049
$ClCD_3$	2207	1054	698	2380	1093	790
$BrCH_3$	3061	1332	614	3213	1506	975
$BrCD_3$	2196	1002	580	2381	1084	730
ICl_3	3060	1288	533	3229	1504	906
ICD_3	2210	975	502	2400	1083	676

TABELA 6. Campos de Fôrça das Moléculas $YC(H,D)_3$ ($Y = F, C, Br, I$) em mdina/ \AA^0

Moléculas	Mod.	F_{11}	F_{12}	F_{13}	F_{22}	F_{23}	F_{33}	F_{44}	F_{45}	F_{46}	F_{55}	F_{56}	F_{66}
$FC(H,D)_3$	F^e	5.380	-0.060	0.330	0.623	-0.600	5.740	5.420	-0.113	0.240	0.494	-0.063	0.756
	1	5.205	-0.013	0.029	0.543	-0.184	5.938	5.320	-0.002	0.013	0.479	-0.024	0.782
FCH_3	10	5.206	-0.009	0.025	0.534	-0.156	6.024	5.319	-0.001	0.009	0.476	-0.020	0.786
	100	5.206	-0.008	0.024	0.532	-0.151	6.041	5.319	-0.001	0.009	0.475	-0.019	0.787
	1	5.287	-0.054	0.008	0.609	-0.562	5.834	5.275	-0.007	0.018	0.484	-0.008	0.766
FCD_3	10	5.300	-0.035	0.014	0.593	-0.553	5.959	5.271	-0.005	0.014	0.484	-0.006	0.768
	100	5.301	-0.032	0.013	0.590	-0.553	5.980	5.270	-0.005	0.013	0.483	-0.006	0.768
$C\&C(H,D)_3$	F^e	5.450	0.000	0.000	0.547	-0.450	3.420	5.530	-0.115	0.115	0.485	-0.058	0.618
	1	5.409	-0.005	0.022	0.472	-0.073	3.455	5.476	-0.000	0.008	0.484	-0.014	0.626
$C\&CH_3$	10	5.408	-0.003	0.017	0.468	-0.057	3.476	5.476	0.000	0.006	0.483	-0.011	0.628
	100	5.408	-0.003	0.017	0.468	-0.055	3.480	5.476	0.000	0.005	0.482	-0.010	0.627
	1	5.433	-0.025	0.049	0.464	-0.243	3.647	5.428	-0.006	0.011	0.486	-0.005	0.629
$C\&CD_3$	10	5.434	-0.018	0.044	0.449	-0.214	3.732	5.425	-0.004	0.008	0.485	-0.004	0.630
	100	5.434	-0.017	0.044	0.447	-0.209	3.750	5.425	-0.004	0.008	0.485	-0.003	0.630
$BrC(H,D)_3$	F^e	5.430	-0.020	0.030	0.513	-0.440	2.930	5.420	-0.108	0.240	0.440	0.060	0.610

TABELA 6. Continuação

Moléculas	Mod.	F ₁₁	F ₁₂	F ₁₃	F ₂₂	F ₂₃	F ₃₃	F ₄₄	F ₄₅	F ₄₆	F ₅₅	F ₅₆	F ₆₆
BrCH ₃	1	5.426	-0.004	0.019	0.450	-0.063	2.892	5.483	-0.000	0.005	0.475	-0.008	0.547
	10	5.456	-0.023	0.417	0.445	-0.041	2.937	5.482	0.000	0.004	0.474	-0.006	0.548
	100	5.426	-0.003	0.015	0.446	-0.047	2.910	5.482	0.000	0.003	0.475	-0.006	0.549
BrCD ₃	1	5.428	-0.019	0.049	0.437	-0.201	3.076	5.421	-0.006	0.008	0.469	-0.002	0.556
	10	5.428	-0.014	0.043	0.425	-0.172	3.138	5.419	-0.004	0.006	0.468	-0.002	0.556
	100	5.428	-0.013	0.042	0.423	-0.167	3.150	5.419	-0.004	0.005	0.468	-0.002	0.556
IC(H,D) ₃	F ^c	5.430	-0.090	-0.030	0.486	-0.360	2.340	5.500	-0.143	0.300	0.430	0.090	0.560
	1	5.427	-0.003	0.016	0.426	-0.049	2.304	5.537	-0.000	0.004	0.473	-0.006	0.478
	10	5.427	-0.002	0.012	0.424	-0.037	2.313	5.537	-0.000	0.003	0.472	-0.005	0.478
ICH ₃	100	5.427	-0.002	0.012	0.423	-0.036	2.315	5.537	0.000	0.003	0.472	-0.004	0.478
	1	5.510	-0.014	0.042	0.416	-0.151	2.453	5.509	-0.006	0.006	0.466	-0.002	0.487
	10	5.510	-0.010	0.036	0.407	-0.126	2.493	5.508	-0.004	0.004	0.466	-0.001	0.487
ICD ₃	100	5.510	-0.010	0.035	0.405	-0.122	2.501	5.508	-0.004	0.004	0.466	-0.001	0.487



TABELA 7. Campos de Fôrça das Moléculas $YC(H,D)_3$ ($Y = F, C_2, Br, I$) em radia/ \AA^9 .

Moléculas	Mod.	F_{11}	F_{12}	F_{13}	F_{22}	F_{23}	F_{33}	F_{44}	F_{45}	F_{46}	F_{55}	F_{56}	F_{66}
$FC(H, D_3)$	I ^e	5.380	-0.060	0.330	0.623	-0.600	5.740	5.420	-0.113	0.240	0.494	-0.063	0.756
	II	5.202	-0.011	0.069	0.527	-0.136	6.097	5.330	-0.016	0.050	0.482	-0.029	0.776
	III	5.207	0.001	0.005	0.544	-0.188	5.931	5.317	-0.001	0.002	0.475	-0.019	0.788
	IV	5.206	0.000	0.005	0.533	-0.154	6.034	5.317	-0.001	0.001	0.472	-0.014	0.793
	II	5.256	-0.054	-0.093	0.584	-0.545	6.080	5.318	-0.040	0.066	0.487	-0.016	0.758
$FC\bar{D}_3$	III	5.329	0.004	0.023	0.622	-0.590	5.714	5.272	-0.007	0.010	0.481	-0.001	0.772
	IV	5.326	0.003	0.015	0.615	-0.580	5.762	5.268	-0.005	0.007	0.481	-0.001	0.772
	I ^e	5.450	0.000	0.000	0.547	-0.450	3.420	5.530	-0.115	0.115	0.485	-0.038	0.618
	II	5.407	-0.003	0.005	0.462	-0.030	3.518	5.485	-0.016	0.022	0.486	-0.019	0.623
	III	5.408	0.000	0.003	0.471	-0.072	3.457	5.475	-0.001	0.001	0.483	-0.012	0.628
$C\bar{C}CH_3$	IV	5.408	0.000	0.002	0.467	-0.054	3.482	5.475	-0.001	0.001	0.481	-0.008	0.630
	II	5.420	-0.022	0.004	0.429	-0.176	3.887	5.464	-0.042	0.049	0.487	-0.013	0.624
	III	5.441	0.003	0.012	0.466	-0.252	3.630	5.426	-0.007	0.005	0.484	-0.002	0.631
	IV	5.437	0.002	0.008	0.450	-0.217	3.727	5.424	-0.005	0.003	0.484	-0.001	0.631
	I ^e	5.430	-0.020	0.030	0.513	-0.440	2.930	5.420	-0.108	0.240	0.440	0.060	0.610

TABELA 7. Continuação

Moléculas	Mod.	F ₁₁	F ₁₂	F ₁₃	F ₂₂	F ₂₃	F ₃₃	F ₄₄	F ₄₅	F ₄₆	F ₅₅	F ₅₆	F ₆₆
BrCH ₃	II	5.424	-0.002	0.004	0.441	-0.021	2.943	5.490	-0.016	0.017	0.476	-0.014	0.545
	III	5.425	0.000	0.002	0.450	-0.062	2.893	5.482	-0.001	0.001	0.474	-0.007	0.548
	IV	5.425	0.000	0.002	0.446	-0.046	2.912	5.482	-0.001	0.000	0.473	-0.005	0.549
	II	5.418	-0.015	0.008	0.402	-0.122	3.289	5.455	-0.042	0.041	0.469	-0.010	0.552
BrCD ₃	III	5.431	0.002	0.009	0.438	-0.205	3.073	5.420	-0.007	0.004	0.468	-0.001	0.556
	IV	5.428	0.002	0.006	0.425	-0.170	3.147	5.418	-0.005	0.002	0.468	-0.001	0.557
	II	5.430	-0.090	-0.300	0.486	-0.360	2.340	5.500	-0.143	0.309	0.430	0.090	0.560
	III	5.426	-0.001	0.003	0.418	-0.012	2.338	5.533	0.007	-0.008	0.467	0.008	0.484
IC(H,D) ₃	IV	5.426	0.000	0.002	0.425	-0.047	2.305	5.537	-0.001	0.000	0.473	-0.005	0.478
	II	5.503	-0.009	0.008	0.385	-0.073	2.316	5.537	-0.001	0.000	0.472	-0.004	0.479
	III	5.511	0.002	0.007	0.416	-0.152	2.454	5.509	-0.007	0.003	0.467	-0.008	0.485
	IV	5.509	0.001	0.004	0.405	-0.122	2.501	5.507	-0.005	0.001	0.466	-0.001	0.488

TABELA 8. Campos de Força das Moléculas $YC(H, D)_3$ ($Y = F, Cl, Br, I$) em mdina/ \AA^0 .

Moléculas	Mod.	F ₁₁	F ₁₂	F ₁₃	F ₂₂	F ₂₃	F ₃₃	F ₄₄	F ₄₅	F ₄₆	F ₅₅	F ₅₆	F ₆₆
$FC(H, D)_3$	F^e	5.380	-0.060	0.330	0.623	-0.600	5.740	5.420	-0.113	0.240	0.494	-0.063	0.756
	$F^>$		1.442	7.359		-0.016			1.126	2.560		0.035	
	$F^<$		-1.149	-5.334		-1.320			-1.515	-1.875		-0.255	
FCH_3	F^s	5.245	0.058	0.227	0.601	-0.449	5.628	5.360	-0.072	0.088	0.502	-0.078	0.754
	F^c	5.209	0.004	0.028	0.529	-0.143	6.073	5.322	-0.007	0.010	0.470	-0.012	0.795
	$F^>$		1.465	5.433		-0.579			1.015	2.803		0.072	
	$F^<$		-0.936	-3.149		-1.139			-1.741	-1.597		-0.132	
FCD_3	F^s	5.459	0.116	0.399	0.675	-0.737	5.509	5.411	-0.129	0.100	0.488	-0.025	0.752
	F^c	*	0.014	0.068	*	-0.295	*	5.292	-0.022	0.032	0.481	-0.001	0.769
$C\&C(H, D)_3$	F^e	5.450	0.000	0.000	0.547	-0.450	3.420	5.530	-0.115	0.115	0.485	-0.038	0.618
	$F^>$		1.557	9.106		0.327			1.175	2.767		0.096	
	$F^<$		-1.261	-6.649		-1.549			-1.570	-2.154		-0.316	
$C\&CH_3$	F^s	5.435	0.051	0.153	0.506	-0.264	3.341	5.508	-0.072	0.059	0.505	-0.072	0.608
	F^c	5.411	0.004	0.018	0.475	-0.092	3.433	5.478	-0.007	0.006	0.484	-0.013	0.627
	$F^>$		1.569	6.874		-0.141			1.060	3.053		0.127	
	$F^<$		-1.048	-4.238		-1.346			-1.797	-1.926		-0.225	
$C\&CD_3$	F^s	5.535	0.097	0.340	0.531	-0.453	3.433	5.535	-0.128	0.112	0.491	-0.034	0.618
	F^c	5.450	0.012	0.046	0.438	-0.197	3.803	5.441	-0.021	0.020	0.484	-0.003	0.629

TABELA 8. Continuação

Moléculas	Mod.	F ₁₁	F ₁₂	F ₁₃	F ₂₂	F ₂₃	F ₃₃	F ₄₄	F ₄₅	F ₄₆	F ₅₅	F ₅₆	F ₆₆
BrC(H, D) ₃	F ^e	5.430	-0.020	0.030	0.513	-0.440	2.930	5.420	-0.108	0.240	0.440	0.060	0.610
	F ^{>}		1.618	9.985		0.400			1.163	2.821		0.130	
	F ^{<}		-1.336	-7.343		-1.702			-1.565	-2.244		-0.329	
	F ^s	5.445	0.045	0.102	0.479	-0.228	2.810	5.514	-0.072	0.049	0.490	-0.059	0.535
	F ^c	5.427	0.003	0.014	0.454	-0.085	2.871	5.485	-0.007	0.005	0.475	-0.010	0.547
	F ^{>}		1.606	7.552		-0.036			1.047	3.118		0.156	
	F ^{<}		-1.116	-4.767		-1.538			-1.790	-2.042		-0.244	
	F ^s	5.502	0.084	0.182	0.497	-0.395	2.917	5.522	-0.128	0.092	0.471	-0.028	0.548
	F ^c	5.438	0.010	0.035	0.428	-0.183	3.116	5.434	-0.022	0.015	0.468	-0.002	0.555
	F ^e	5.430	-0.090	-0.030	0.486	-0.360	2.340	5.500	-0.145	0.300	0.430	0.090	0.560
BrCD ₃	F ^{>}		1.643	10.334		0.448			1.177	2.883		0.155	
	F ^{<}		-1.366	-7.616		-1.702			-1.582	-2.337		-0.351	
	F ^s	5.443	0.042	0.080	0.449	-0.183	2.249	5.566	-0.072	0.040	0.486	-0.052	0.469
	F ^c	5.428	0.003	0.011	0.430	-0.070	2.288	5.539	-0.007	0.004	0.474	-0.009	0.477
	F ^{>}		1.651	7.975		0.064			1.068	3.205		0.179	
	F ^{<}		-1.164	-5.088		-1.586			-1.822	-2.173		-0.273	
	F ^s	5.572	0.080	0.142	0.467	-0.319	2.346	5.604	-0.128	0.076	0.469	-0.026	0.482
	F ^c	5.519	0.009	0.028	0.415	-0.151	2.455	5.522	-0.022	0.012	0.466	-0.002	0.487
	F ^e												

TABELA 9. Valores de g_{ij} das Moléculas $YC(H,D)_5$ ($Y = F, Cl, Br, I$)

Moléculas	g_{12}	g_{13}	g_{23}	g_{45}	g_{46}	g_{56}
FCH_3	0.068093	0.124788	0.3556917	0.092973	0.115816	0.162013
FCO_3	0.124386	0.175848	0.485407	0.171711	0.205547	0.050983
$ClCH_3$	0.069142	0.140416	0.398930	0.092313	0.101099	0.190332
$ClCD_3$	0.126071	0.197822	0.549509	0.170598	0.184501	0.087520
$BrCH_3$	0.065191	0.142054	0.439175	0.094692	0.095254	0.180440
$BrCD_3$	0.118875	0.200510	0.612018	0.174728	0.175237	0.083371
ICl_3	0.064499	0.143980	0.452954	0.095090	0.089717	0.134371
ICD_3	0.117606	0.203319	0.634141	0.175403	0.165811	0.091874

TABELA 10. Campos de Fôrça das Moléculas $YC(H,D)_3$ ($Y = F, Cl, Br, I$) em mdina/ \AA^2

Moléculas	Mod.	Espécie A ₁						Espécie E					
		F ₁₁	F ₁₂	F ₁₃	F ₂₂	F ₂₃	F ₃₃	F ₄₄	F ₄₅	F ₄₆	F ₅₅	F ₅₆	F ₆₆
FC(H,D) ₃	F ^E	5.380	-0.060	0.330	0.623	-0.600	5.740	5.420	-0.113	0.240	0.494	-0.063	0.756
FC ^G H ₃	F ^G	5.266	0.147	0.348	0.594	-0.391	5.640	5.390	-0.132	0.145	0.502	-0.077	0.755
FC ^G D ₃	F ^G	5.455	0.140	0.330	0.673	-0.706	5.509	5.367	-0.111	0.088	0.490	-0.034	0.751
Cl ^C (H,D) ₃	F ^C	5.450	0.000	0.000	0.547	-0.450	3.420	5.530	-0.115	0.115	0.485	-0.038	0.618
Cl ^G CH ₃	F ^G	5.453	0.146	0.192	0.493	-0.172	5.365	5.543	-0.135	0.153	0.504	-0.067	0.610
Cl ^G CD ₃	F ^G	5.514	0.120	0.080	0.511	-0.384	3.454	5.504	-0.110	0.059	0.493	-0.042	0.618
Br ^C (H,D) ₃	F ^C	5.430	-0.020	0.030	0.513	-0.440	2.930	5.420	-0.108	0.240	0.440	-0.060	0.610
Br ^G CH ₃	F ^G	5.463	0.150	0.157	0.463	-0.118	2.844	5.549	-0.132	0.158	0.489	-0.054	0.538
Br ^G CD ₃	F ^G	5.480	0.117	-0.004	0.472	-0.307	2.953	5.495	-0.106	0.052	0.473	-0.038	0.548
I ^C (H,D) ₃	F ^C	5.430	-0.090	-0.030	0.486	-0.360	2.340	5.500	-0.143	0.300	0.430	0.090	0.560
I ^G CH ₃	F ^G	5.460	0.150	0.124	0.452	-0.069	2.287	5.603	-0.132	0.165	0.485	-0.047	0.472
I ^G CD ₃	F ^G	5.547	0.114	-0.065	0.438	-0.222	2.389	5.582	-0.105	0.050	0.471	-0.037	0.481

REFERÊNCIAS

1. E.B. Wilson, J.C. Decius e P.C. Cross, "Molecular Vibrations" (McGraw-Hill, 1955).
2. D. Boyd e H.C. Longuet-Higgins, Proc. Roy. Soc. A213, 55 (1952).
3. J.H. Meal e S.R. Polo, J. Chem. Phys. 24, 1126 (1956).
4. D. Kivelson e E.B. Wilson, J. Chem. Phys. 21, 1229 (1953).
5. D.A. Long e E.A. Seibold, Trans. Faraday Soc. 56, 1105 (1960).
6. D.A. Long e J.Y.H. Chau, Trans. Faraday Soc. 58, 2328 (1962).
7. H. Fujii e M. Kimura, J. Mol. Spectrosc. 37, 517 (1971).
8. H.J. Becher e K. Ballein, Z. Phys. Chemie, Neue Folge 54, 302 (1967).
9. G. Strey, J. Mol. Spectrosc. 24, 87 (1967).
10. H.J. Becher e R. Mattes, Spectrochim. Acta 23A, 2449 (1967).
11. F. Billes, Acta Chim. Acad. Sci. Hung. 47, 53 (1966).
12. P. Pulay, Z. Angew. Math. Mech. 46, 151 (1966).
13. P. Pulay e F. Torok, Acta Chim. Acad. Sci. Hung. 47, 273 (1966); 44, 287 (1965).
14. J. Herranz e F. Castano, Spectrochim. Acta 22, 1965 (1966).
15. W. Sawodny, A. Fadini e K. Ballein, Spectrochim. Acta 21, 995 (1965).
16. D.E. Freeman, J. Mol. Spectrosc. 27, 27 (1968).
17. A. Muller e C.J. Peacock, Z. Physik. Chem. (Leipzig) 238, 116 (1968).
18. C.J. Peacock e A. Mueller, Z. Naturforsch 23a, 1029 (1968).
19. A. Fadini, Z. Naturforsch 21a, 484 (1966).
20. A. Fadini, Z. Naturforsch 21a, 2055 (1966).
21. W. Sawodny, J. Mol. Spectrosc. 30, 56 (1969).
22. M. Pfeiffer, J. Mol. Spectrosc. 31, 181 (1969).
23. S.N. Thakur e S.N. Rai, J. Mol. Structure 5, 320 (1970).
24. R.M. Badger, J. Chem. Phys. 2, 128 (1934).
25. W. Gordy, J. Chem. Phys. 14, 305 (1946).
26. S.W. Wilmshurst, J. Chem. Phys. 28, 733 (1958).

27. W.A. Yeranos, J. Chem. Phys. 50, 3671 (1969).
28. D. Steele e E.R. Lippincott, Rev. Mod. Phys. 34, 239 (1962).
29. S. Isotani, An. Acad. Bras. Ci. 45, 87 (1973).
30. S. Isotani e O. Sala, An. Acad. Bras. Ci. (a ser publicado).
31. E.B. Wilson, J. Chem. Phys. 7, 1047 (1937).
32. E.B. Wilson, J. Chem. Phys. 9, 76 (1941).
33. J.C. Decius, J. Chem. Phys. 16, 1025 (1948).
34. G.M. Barrow, "Introduction to Molecular Spectroscopy" (McGraw-Hill, 1962).
35. Y. Morino e K. Kuchitsu, J. Chem. Phys. 20, 1809 (1952).
36. D.M. Dennison, Rev. Mod. Phys. 12, 175 (1940).
37. G.E. Hansen e D.M. Dennison, J. Chem. Phys. 20, 313 (1952).
38. I.M. Mills, Spectrochim. Acta 16, 35 (1960).
39. J. Aldous e I.M. Mills, Spectrochim. Acta 18, 1073 (1962).
40. J. Aldous e I.M. Mills, Spectrochim. Acta 19, 1567 (1963).
41. J.L. Duncan e I.M. Mills, Spectrochim. Acta 20, 523 (1964).
42. Sven J. Cyvin, "Molecular Vibrations and Mean Square Amplitudes" (Universitets forlaget, Oslo, 1968).
43. T. Shimanouchi, "Computer Programs for Normal Coordinate Treatment of Polyatomic Molecules", University of Tokyo, July (1968).
44. P. Torkington, J. Chem. Phys. 17, 357 (1949).
45. I. Suzuki, M.A. Pariseau e J. Overend, J. Chem. Phys. 44, 3561 (1966).
46. Y. Morino e H. Uehara, J. Chem. Phys. 45, 4543 (1966).
47. H. Kim, P.A. Souder e H.H. Claassen, J. Mol. Spectrosc. 26, 46 (1968).
48. S. Isotani, An. Acad. Bras. Ci. 44, 409 (1972).
49. G. Glockler e J.Y. Tung, J. Chem. Phys. 13, 388 (1945).
50. S. Isotani, Ciéncia e Cultura 26, 69 (1974).
51. Tables of Interatomic Distances and Configuration in Molecules and Ions, n° 11, Special Publication, The Chemical Society, Burlington House, London (1958).

52. Handbook of Chemistry and Physics (CRC), College Edition, n° 43, Cleveland, Ohio (1967-1968).
53. T. Oka e Y. Morino, J. Mol. Spectrosc. 8, 9 (1962).
54. L. Pierce, N. Di Cianni e R.H. Jackson, J. Chem. Phys. 38, 730 (1963).
55. M.M. Rochkind e G.C. Pimentel, J. Chem. Phys. 42, 1361 (1965).
56. A. Ruoff, Spectrochim. Acta 23, 2421 (1967).
57. J.A. Ladd, W.J. Orville-Thomas e B.C. Cox, Spectrochim. Acta 19, 1911 (1963).
58. C.G. Barraclough e M.M. Sinclair, Spectrochim. Acta 26, 207 (1970).
59. J.L. Duncan e I.M. Mills, Spectrochim. Acta 20, 525 (1964).
60. A.A. Chalmers e D.C. McKean, Spectrochim. Acta 22, 251 (1966).
61. Y. Morino, Y. Nakamura e T. Ijima, J. Chem. Phys. 32, 643 (1960).
62. D.C. McKean, Spectrochim. Acta 22, 269 (1966).
63. N. Mohan e A. Muller, J. Mol. Spectrosc. 42, 203 (1972).
64. A. Ruoff, Spectrochim. Acta 23, 2421 (1967).
65. I.W. Levin, J. Chem. Phys. 47, 4685 (1967).
66. A. Ruoff, Spectrochim. Acta 26, 545 (1970).

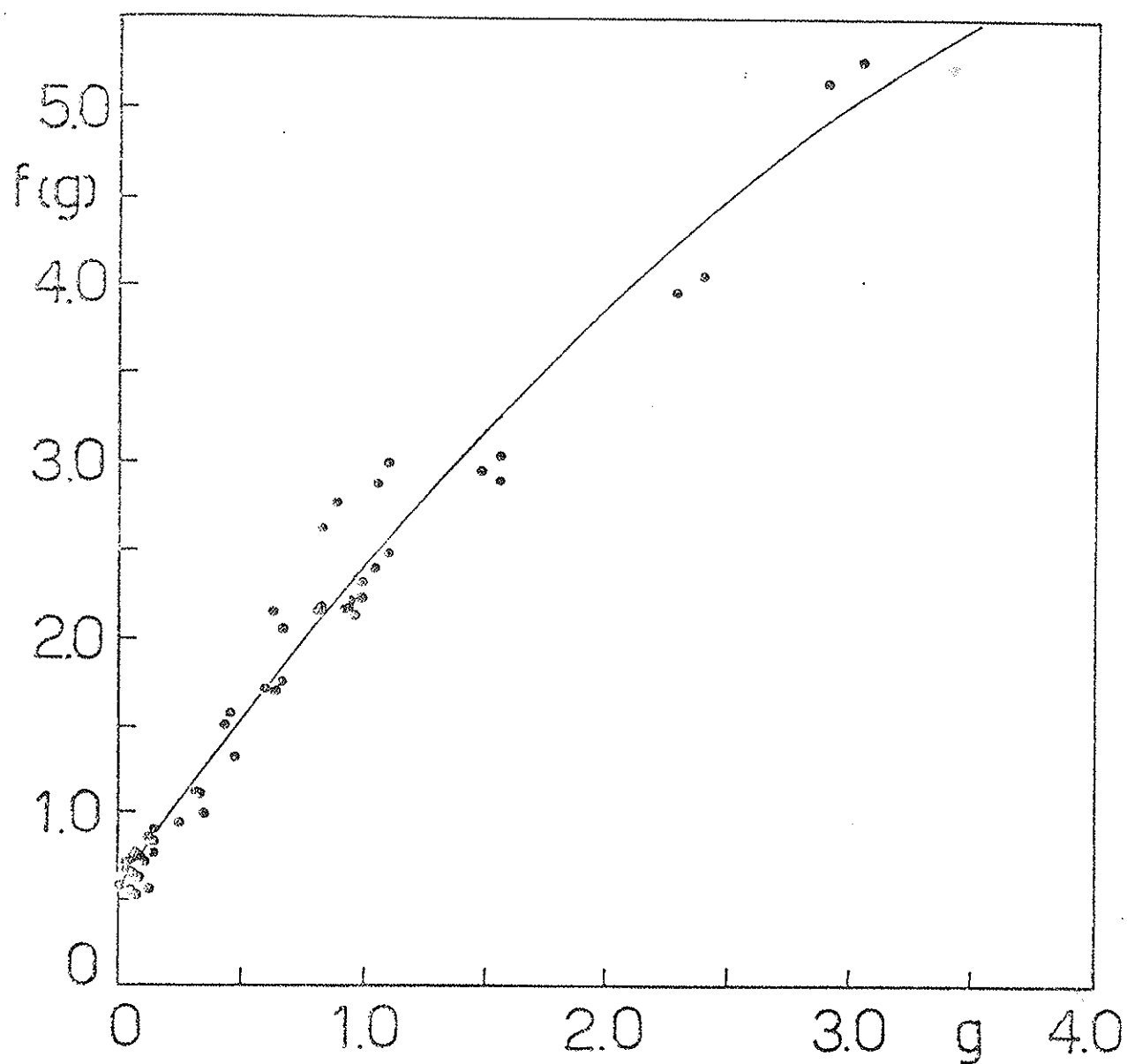


FIGURA 1